

Нижегородский научно-исследовательский радиофизический институт

Государственного комитета РФ по высшему образованию

---

Препринт № 369

ДЕЦИМЕТРОВАЯ РАДИОТЕРМОМЕТРИЯ  
В МЕДИЦИНСКОЙ ДИАГНОСТИКЕ

В.Л.Рахлин

Нижний Новгород, 1993

Рахлин В. Л.

ДЕЦИМЕТРОВАЯ РАДИОТЕРМОМЕТРИЯ В МЕДИЦИНСКОЙ ДИАГНОСТИКЕ //  
Препринт № 369. - Нижний Новгород: НИРФИ, 1993. - 55 с.

В данной работе обобщен опыт и статистика почти 18-летних исследований по диагностике патологий в различных областях медицины с помощью радиотермометрии.

Работа проводилась совместно с медиками различных клиник, обсуждалась на семинарах НИРФИ, ИПФАН, в клиниках, на семинаре М.Т.Греховой "Радиоэлектроника в медицине". Результаты одобрены медиками - профессором Н.А.Макаровым, докторами Т.С.Куприяновой, Е.П.Развозовой и др.

## I. ВВЕДЕНИЕ

Медицинская радиотермометрия как метод неинвазивный, безопасный и абсолютно безвредный для человека и персонала медицинской диагностики появилась впервые в нашей стране в г.Горьком (Н.Новгороде) в 1976 году. Пionерами этой работы были горьковские радиоастрономы, возглавлявшиеся в то время членом-корреспондентом АН СССР В.С.Троицким. В том, что медицинской радиотермометрии первыми занялись радиоастрономы, ничего удивительного нет: радиоастрономы умеют измерять температуру недр и глубинных слоев астрономических объектов по их собственному радиоизлучению, а от этого один шаг до измерения неинвазивным способом температуры внутренностей человека.

Первыми, судя по публикациям в печати, в медицине применили радиотермометрию шведы /1/ в 1974 году. Они использовали радиоприемник тридцатисантиметрового радиотелескопа, создали kontaktную антенну для него и установили ее на кожу пациента над областью желудка. Измерив температуру этой области, давали пациенту выпить холодной воды 1-2 стакана. Радиоприемник немедленно фиксировал снижение температуры радиоизлучения, а следовательно и снижение температуры желудка. В другой раз давали пациенту выпить горячего чая и тут же отмечали повышение температуры желудка. Следующая публикация, которая нами была замечена, принадлежит американским радиоастрономам в содружестве с врачом /2, 3/- в 1975 году они опубликовали результаты своей работы по обнаружению рака молочной железы неинвазивным методом радиотермометрии. В их расположении имелся радиоприемник десятисантиметрового диапазона и а

волн. С его помощью и контактной антенной они измеряли глубину и температуру симметричных областей молочных желез. Измерения были относительными, не абсолютными, но тем не менее по локализации и резкого повышения температуры они судили, с определенной долей вероятности, о наличии опухоли.

Иначе поступили радиоастрономы г. Горького в 1976 году. Они пришли к выводу о целесообразности проведения измерений глубинной температуры не в относительных значениях, а в абсолютных. К этому же, впоследствии, пришли специалисты радиотермометрии ФРГ, Швейцарии, США и других стран.

Действительно, основное назначение медицинской радиотермометрии – неизвивное, безболезненное и абсолютно безвредное измерение температуры органов и глубинных слоев тканей человека. Общеизвестно, что когда человек заболевает, то в первую очередь интересуется, какая у него температура. Имеется ввиду температура в подмышечной впадине. Система биологической терморегуляции организма человека настолько совершенна, что в различных климатических условиях у него подмышечная температура, если человек здоров, укладывается в интервал  $\pm 0,5$  К, при средней температуре 309,5 К ( $36,5^{\circ}\text{C}$ ), что составляет менее 0,2%. В случае заболевания температура обычно повышается, и это дает информацию о том, что человек заболел. Однако, какая болезнь у него, делать заключение только по температуре невозможно. Необходимы еще какие-то объективные показания, клиника, анамнез. Следует также отметить, что при некоторых заболеваниях, в том числе таких опасных, как рак, а тем более на ранних стадиях заболевания, подмышечная температура может быть совершенно нормальной. Для диагностики ряда заболеваний требуется применять различные, порой небезвредные для здоровья обследования (такие, как рентгеноскопия, рентгенография, УЗИ), а то и весьма болезненные (например, биопсия, хромоцитоскопия, зондирование и пр.). В то же время для диагностики заболевания иногда вполне достаточно знать температуру какого-либо органа или распределение температуры по нему, температурные градиенты в определенной области.

При радиотермометрии измеряется средняя интегральная температура в цилиндрическом столбике ткани. На волне тридцатисантиметрового диапазона волн диаметр этого столбика около 3–4 сантиметров, а высота (или глубина) зависит от влагосодержания ткани /4,

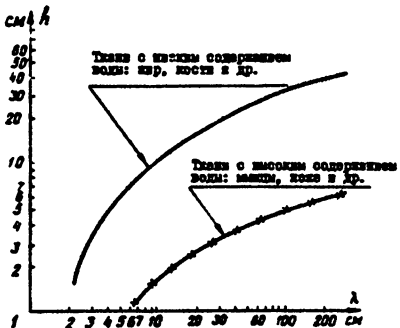


Рис. I

Зависимость глубины проникновения радиоволн в живых тканях от длины волны по Джонсону и Гаю

5/. На графике рис. I, построенном по работе Джонсона и Гая, показано, на каких длинах волн и с каких глубин черпается температура и какая информация. В тканях с большим содержанием влаги — мышцы, кожа и др. — на волне 30 сантиметров глубина цилиндра 4–5 см, а в тканях с малым содержанием влаги — кирпичи, кости и др. — 25–30 см. Это объясняется тем, что электромагнитная энергия в тканях с меньшим содержанием влаги претерпевает меньше потери, чем в тканях с большим содержанием влаги. Поэтому небольшая жировая прослойка на животе или на спине не мешает "смотреть" вглубь: она как-бы прозрачна. Таким образом можно измерять температуру печени, кишечника, почек, поджелудочной железы, гениталий и других органов.

В своей медицинской радиотермометрии нижегородские радиоастрономы применяли различные диапазоны радиоволн — от пятисантиметровых до метровых /6, 7/. Однако многолетняя практика показала, что диапазон сантиметровых радиоволн дает информацию о температуре тканей с очень неглубоких значений, мало отличающихся от тепловизионных измерений и поэтому пригоден, главным образом, для диагностики процессов в подкожной области и в эпидермисе. Диапазон метровых радиоволн, хотя дает информацию о температуре глубоко лежащих тканей, но обладает малой разрешающей способностью из-за большого размера контактной антенны. В этом отношении, самым оптимальным, с нашей точки зрения, оказался диапазон тридцатисантиметровых волн, которым мы, в основном, и пользуемся /8, 9, 25, 30, 31/.

В данной работе обобщен опыт и статистика почти 18-летних исследований по диагностике патологий в различных областях медицины, таких как андрология, гастроэнтерология, гинекология, нев-

рология, онкология, хирургия и др.

Работа проводилась совместно с медиками, биологами, радиофизиками, в различных клиниках г.Горького (Н.Новгорода). А в т о р очень благодарен им за сотрудничество.

К сожалению всех помощников перечислить невозможно. Наибольшую благодарность автор выражает Аксеновой М.Н. - биологу, врачам Аловой Г.Е., Богданову С.Н., Волошину В.Н., доктору медицинских наук, профессору Макарову Н.А., лаборантке Матигиной Г.М., кандидатам медицинских наук, доцентам Куприяновой Т.С., Развозовой Е.П. и радиофизику Трониной Н.Г.

Значительная часть полученных результатов обсуждалась с чл.-корр.АН СССР В.С.Троицким на семинарах НИРФИ, ИГФАНа, клиник в г.Н.Новгорода и на семинаре проф.М.Т.Греховой "Радиоэлектроника в медицине".

## 2. ПРИНЦИП РАБОТЫ МЕДИЦИНСКОГО РАДИОТЕРМОМЕТРА

Измерение температуры глубинных тканей и органов человека основано на приеме и измерении радиоизлучения этих органов, определяемого их температурой. Общеизвестно, что любая материя, и человеческие ткани в том числе, содержат электрические заряды как отрицательные, так и положительные. Эти заряды находятся в непрерывном движении, зависящем от температуры материи. Только при температуре абсолютного нуля ( $-273^{\circ}\text{C}$ ) движение их прекращается. Любое движение электрического заряда или электрозаряженной частицы порождает вокруг траектории своего движения электромагнитное поле. Частота и мощность этого электромагнитного поля определяется скоростью движения заряда и протяженностью траектории. Поскольку в человеческом теле одновременно принимают участие в движении неисчислимое количество заряженных частиц, обладающих разными скоростями и различными траекториями, то и создают они электромагнитное поле с самыми различными, случайными частотами, так называемый сплошной спектр частот или шумовой электромагнитный сигнал. Это электромагнитное поле распространяется по всему объему тела, претерпевает внутри тела изменения в соответствии с законами распространения, достигает поверхности и проходя через кожу частично излучается в окружающую среду, частично отражается от раздела тело - среда и возвращается внутрь /IQ/. Спектральный

плотность теплового радиоизлучения выражается законом Планка:

$$\rho = \frac{2\pi f^2}{c^2} \frac{hf}{e^{hf/kT} - 1} \cdot \text{Вт/м}^2 \cdot \text{Гц}, \quad (2.1)$$

где  $c = 3 \cdot 10^8$  м/с - скорость распространения света,  $h = 6,62 \cdot 10^{-34}$  Дж·с - постоянная Планка,  $k = 1,38 \cdot 10^{-23}$  Дж/град - постоянная Больцмана,  $T$  - температура тела в градусах Кельвина,  $f$  - частота сигнала в герцах.

Для выражения всей мощности радиотеплового излучения тела, поступающего из него в контактную антенну, приставленную к нему, можно воспользоваться формулой Найквиста, с учетом неполного согласования антенны с телом:

$$P = kT \Delta f (1 - \Gamma^2) \rho(f), \quad (2.2)$$

где  $k = 1,38 \cdot 10^{-23}$  Дж/град (постоянная Больцмана),  $T$  - температура (в среднем) тела человека в градусах Кельвина,  $\Delta f$  - полоса пропускания приемника сигнала, излученного телом человека в герцах,  $\Gamma^2$  - коэффициент отражения по мощности для сигнала, поступающего из тела в antennу,  $\rho(f) = \frac{hf}{kT} (e^{hf/kT} - 1)^{-1}$  - множитель Планка. Разлагая экспоненту в ряд

$$\exp \frac{hf}{kT} = 1 + \frac{hf}{kT} + \frac{1}{2!} \left( \frac{hf}{kT} \right)^2 + \frac{1}{3!} \left( \frac{hf}{kT} \right)^3 + \dots + \quad (2.3)$$

и ограничиваясь двумя первыми членами, виду того, что для нашего случая  $hf \ll kT$ , получаем, для множителя Планка,

$$\rho(f) = 1. \quad (2.4)$$

Это значительно упрощает формулу Найквиста, в которой важную роль теперь играет коэффициент отражения  $\Gamma^2$ :

$$P = kT \Delta f (1 - \Gamma^2). \quad (2.5)$$

В последующей главе о метрологическом обеспечении будет показано, что коэффициент отражения влияет на величину погрешности измерения и предлагается система, устраняющая влияние отражения на точность определения мощности теплового радиоизлучения.

Мощность теплового радиоизлучения, поступающего из тела человека в радиотермометр, чрезвычайно мала. Определяемая по формуле Найквиста, она составляет около  $10^{-18}$ - $10^{-20}$  ватта, а учитывая, что радиотермометр должен обеспечить погрешность измерения не более  $0,1^{\circ}$ , то приемник должен различать сигналы теплового радиоизлучения, отличающиеся приблизительно на  $10^{-20}$ - $10^{-22}$  ватта. Для приема таких слабых сигналов, величина которых в десятки тысяч раз меньше мощности собственных шумов входных цепей усилителя, применяют специальные методы приема. Наибольшее распространение в наше время получивший название "модуляционный метод". В нашем приборе именно он и используется /IO-16/. Он заключается в том, что принимаемый сигнал периодически, с низкой частотой отключается от входа усилителя, т.е. модулируется (отсюда и название метода), в то время как собственные шумы приемника не модулируются. Модулированный сигнал после высокочастотного усиления и детектирования усиливается еще по низкой частоте, затем переводится в постоянный ток и измеряется, либо записывается самопищущим гальванометром. Функциональная схема модуляционного радиометра показана на рис.2.

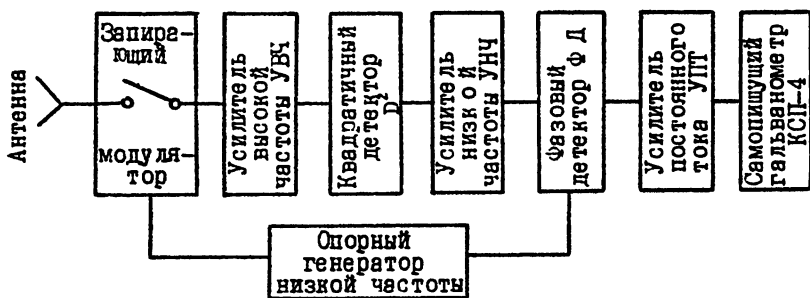


Рис. 2

Функциональная схема модуляционного радиометра

В окружающем нас пространстве имеются многочисленные электромагнитные поля как естественного, так и искусственного происхождения (от различных промышленных и бытовых электроприборов), в сотни тысяч раз превышающие по мощности сигналы теплового радиоизлучения, принимаемые из тела человека. Для защиты от этих помех

радиотермометрию необходимо проводить в экранированной кабине, сдавлиющей помеху на 80-100 децибел, что составляет по мощности  $10^8$ - $10^{10}$  раз.

### 3. ПОГРЕШНОСТИ ИЗМЕРЕНИЙ И МЕТРОЛОГИЧЕСКОЕ ОБЕСПЕЧЕНИЕ

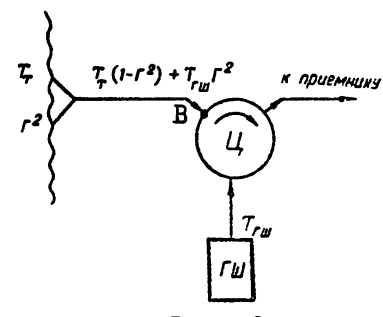
В радиотермометрии необходимо обеспечить точность измерений температуры, по крайней мере, не худшую, чем у ртутного медицинского градусника  $\pm 0,15^\circ$ . Существует несколько источников, которые могут повлечь погрешности измерения и весьма значительные по абсолютной величине. К этим источникам относятся аппаратурные - такие как нелинейность характеристики усиленного тракта приемника, отклонение от квадратичности характеристики квадратичного детектора, нестабильность усиления прибора, недостаточное согласование контактной антенны с эталонами теплового радиоизлучения и телом человека, погрешность в эталонировании прибора, а также искажение измерения внешними помехами и некоторые другие.

При разработке, настройке и регулировке аппаратуры на линейность характеристики обращается необходимое внимание. Таким образом, за счет нелинейности характеристики усиленного тракта ошибка измерения практически исключается. Квадратичный детектор, практически, не вызывает ошибок измерений. Для поддержания стабильности усиления радиотермометра в нем применяется жесткая стабилизация всех источников электропитания схемы и терmostабилизация всех СВЧ узлов. Стабилизация источников электропитания поддерживает неизменными на требуемемся уровне все напряжения при изменении входного (сетевого) напряжения от 200 до 240 вольт. Терmostабилизация схемы выполнена на уровне 309 К ( $36^\circ\text{C}$ ) с отклонениями в пределах 0,1 К. Однако это требует длительного прогрева аппаратуры перед началом измерений в течение полутора-двух часов. После такого прогрева аппаратура работает стабильно неограниченное время, вплоть до круглосуточного. Дополнительно и перечисленным мерам для снижения ошибок измерения применяется калибровка радиотермометра по эталонам теплового радиоизлучения, которую можно выполнять при обследовании каждого пациента.

Остальные источники возможных ошибок измерения температуры - недополненное согласование антенны, погрешности эталонирования и внешние электромагнитные помехи - более существенны и для полученных я

требуемойся точности измерения прибегают к специальным мерам и способам.

Как уже говорилось во второй главе, коэффициент отражения, т.е. показатель рассогласования антенны с телом человека, влияет на величину сигнала, поступающего из тела в антенну. Вопрос о согласовании контактной антенны с телом человека уделялось много внимания /17, 18/, однако создать такую контактную антенну, которая была бы полностью согласована с телом человека во всех точках и областях кожи, невозможно. Это объясняется различием электрических и диэлектрических свойств тканей человека в разных участках тела. Для устранения ошибок измерения, вызываемых рассогласованием антенны с телом человека, используется способ, названный автором "методом регулируемого подшумливания" /19/. Он заключается в том, что контактная антenna соединяется с модулятором приемника через ферритовый циркулятор, в третье плечо которого включен генератор шумового СВЧ сигнала (рис.3). Рассмотрим работу этой системы.



При достаточной развязке широкулятора, чтобы собственные шумы модулятора не проходили в антенну (для этого развязка должна быть не менее 18 дБ, что вполне реально), сигнал в точке "B" будет

$$T_B = T_X(I - \gamma_A)(I - \Gamma^2) + \\ + T_A \gamma_A (I - \Gamma^2) + T_{Ц} \gamma_{Ц} \Gamma^2 + \\ + T_{ГШ} (I - \gamma_{Ц}) \Gamma^2. \quad (3.1)$$

Функциональная схема  
"подшумливания" антенны

где  $T_X$  – температура излучаемого телом сигнала,  $T_A$  – температура антенны и соединительного кабеля,  $T_{Ц}$  – температура циркулятора,  $T_{ГШ}$  – температура сигнала генератора шума,  $\gamma_A$  – совокупность потерь в антенне и кабеле,  $\gamma_{Ц}$  – прямые потери в плече циркулятора,  $\Gamma^2$  – коэффициент отражения по мощности для антенны от тела.

Разделим выражение (3.1) на  $(I - \gamma_A)$  и обозначим выход радиометра, т.е. отклонение пера самописца КСП-4, когда антenna установлена на тело с температурой  $T_X$ , буквой  $a_x$ :

$$a_x = T_x - T_x \Gamma^2 + T_A \frac{\delta_A}{1-\delta_A} + T_{\text{ц}} \frac{\delta_{\text{ц}}}{1-\delta_A} \Gamma^2 + T_{\text{ГШ}} \frac{1-\delta_{\text{ц}}}{1-\delta_A} \Gamma^2 - T_A \frac{\delta_A}{1-\delta_A} \Gamma^2.$$

После группировки членов получим

$$a_x = T_x + T_A \frac{\delta_A}{1-\delta_A} + \left( T_{\text{ц}} \frac{\delta_{\text{ц}}}{1-\delta_A} + T_{\text{ГШ}} \frac{1-\delta_{\text{ц}}}{1-\delta_A} - T_x - T_A \frac{\delta_A}{1-\delta_A} \right) \Gamma^2. \quad (3.2)$$

Когда антenna устанавливается на эталоне теплового радиоизлучения, с которым она полностью согласована, т.е.  $\Gamma_3^2 = 0$ , соответствен и о выход радиотермометра от первого эталона

$$a_{\text{э}_1} = T_{\text{э}_1} + T_A \frac{1}{1-\delta_A}, \quad (3.3)$$

а от второго

$$a_{\text{э}_2} = T_{\text{э}_2} + T_A \frac{\delta_A}{1-\delta_A}, \quad (3.4)$$

где  $T_{\text{э}_1}$  – температура первого эталона и  $T_{\text{э}_2}$  – температура второго эталона. Теперь направляем антенну в пространство, с которым она практически рассогласована, т.е. для этого случая  $\Gamma^2 = I$ . Тогда выход радиотермометра будет (согласно выражения (3.2))

$$a_{\text{пр}} = T_{\text{ц}} \frac{\delta_{\text{ц}}}{1-\delta_A} + T_{\text{ГШ}} \frac{1-\delta_{\text{ц}}}{1-\delta_A}. \quad (3.5)$$

Величина этого выхода радиотермометра зависит от величины сигнала генератора шума  $T_{\text{ГШ}}$ , отраженного антенной на модулятор. Обозначим этот отраженный антенной сигнал символом  $T'_A$ . Всегда можно подобрать такое значение сигнала  $T'_{\text{ГШ}}$ , чтобы выход  $a'_{\text{пр}}$  был где-то между  $a_{\text{э}_1}$  и  $a_{\text{э}_2}$ , т.е.

$$a_{\text{э}_1} < a'_{\text{пр}} < a_{\text{э}_2}. \quad (3.6)$$

Тогда, согласно записей (3.4) и (3.5),

$$a'_{\text{пр}} = T_{\text{ц}} \frac{\delta_{\text{ц}}}{1-\delta_A} + T'_{\text{ГШ}} \frac{1-\delta_{\text{ц}}}{1-\delta_A} = T'_A + T_A \frac{\delta_A}{1-\delta_A}. \quad (3.7)$$

Подставим (3.7.) в (3.2), получаем

$$a_x = T_x + T_A \frac{\delta_A}{1-\delta_A} + (T'_A - T_x) \Gamma^2. \quad (3.8)$$

Решая совместно уравнения (3.3), (3.4) и (3.8) для искомой температуры, получаем

$$T_x = T_{\theta_1} + (T_{\theta_2} - T_{\theta_1}) \frac{\alpha_x - \alpha_{\theta_1}}{\alpha_{\theta_2} - \alpha_{\theta_1}} - (T'_A - T_x) \Gamma^2, \quad (3.9)$$

последний член этого выражения представляет абсолютную ошибку измерения:

$$\Delta T = (T'_A - T_x) \Gamma^2. \quad (3.10)$$

Регулируя величину сигнала генератора шума  $T'_{\text{ГШ}}$  (а отсюда и название способа – метод регулируемого подщумливания), всегда можно подобрать значение  $T'_A$ , близкое к температуре человека  $T_x$ , и тогда при любом значении коэффициента отражения ошибка измерения может быть сделана очень малой. Обычная контактная антенна имеет коэффициент отражения от 0,02 до 0,05. Поэтому, устанавливая  $T'_{\text{ГШ}}$  такого значения, чтобы получить  $T'_A = 36,5^\circ\text{C}$ , ошибка измерения при определении температуры внутренних органов не превысит  $+0,02-0,05$  градуса, ибо температура этих органов лежит в пределах от  $35,5^\circ$  до  $37,5^\circ\text{C}$ . Если не изменять  $T'_{\text{ГШ}}$  при измерении температуры конечностей, имеющих иногда значение около  $30,0^\circ\text{C}$ , то ошибка возрастет до значения

$$(36,5 - 30,0) \cdot (0,02 - 0,05) \geq 0,13^\circ.$$

Поэтому, если требуется очень большая точность, то при измерении конечностей рекомендуется снижать  $T'_{\text{ГШ}}$  до значения  $T'_A \approx 32,0-33,0^\circ$ . Это дает ошибку измерения не более  $0,02-0,05^\circ$ .

Следующий вопрос – эталонирование радиотермометра. При радиотермии каждого пациента производится калибровка радиотермометра. Она заключается в том, что контактная антенна поочередно ставится на два эталона теплового радиоизлучения, температура которых отличается на 4–6 градусов и известна с определенной точностью. Полученные на выходе радиотермометра от эталонов различные сигналы, пропорциональные температуре, позволяют оценить измеряемую у человека температуру в области установленной антенны. Обычно в качестве активного вещества эталона теплового радиоизлучения служит вода, как вещество наиболее близкое по электрическим и диэлектрическим параметрам тканей человеческого тела. Может использоваться физиологический раствор или раствор глицерина в воде. Вода налита в сосуд, термостатирована, и контактная антенна приставляется к ней через тончайшую лавсановую пленку, не влияющую на согласование

антенны с водой. Для обеспечения необходимой точности измерен ий достаточно трех условий:

1. Температура воды должна быть известна с погрешностью , не превышающей  $+0,01^{\circ}$ .
2. Неодинаковость температуры воды по глубине или температурные градиенты также не должны превышать одной сотой градуса. Для обеспечения этого вода должна непрерывно надежно перемешиваться.
3. Глубина воды в эталоне должна быть толще скинслоя для данной волны и обеспечивать затухание сигнала на 25–30 дБ.

Первый и второй пункты проверяются точными химическими ртутными термометрами, а третий – измерением коэффициента отражен ия от воды для контактной антенны.

Последним существенным источником погрешности измерений является помеха от электромагнитных полей, излучаемых различными и электрическими приборами и установками, трамваями, троллейбусами, системой зажигания карбюраторных двигателей, рентгеновскими установками, физиотерапевтическими устройствами, люминисцентными лампами и пр. Контактная антenna с пространством рассогласованием , т.к. ее геометрические размеры в  $\sqrt{\epsilon}$  тела меньше длины волны в свободном пространстве. Благодаря этому на нее от внешних полей наводятся очень малые сигналы, которые, практически, не создают погрешности измерений. Однако тело человека соизмеримо с длиной волны электромагнитной помехи в пространстве. Это создает в нем весьма значительное напряжение от электромагнитной помехи, устремляющееся в виде стоячих волн вдоль и поперек тела. А так как контактная антenna согласована с телом, то она черпает из него вместе с измеряемым сигналом еще и сигнал помехи. При этом особенно опасна не импульсная помеха, которую легко обнаружить, в стационарная, гладкая (сплошной спектр), которая, не будучи замеченной, создает увеличение причимаемого из тела сигнала, и это увеличение будет связано с распределением узлов и пучностей стоячей волны на теле от помехи. Для исключения ошибки измерения, вызываемой внешними электромагнитными полями, необходимо проводить радиотермометрию в экранированной кабине, дающей ослабление помехи до такого уровня, который может вызывать на входе радиотермометра сигнал не более десятой доли флюктуационного порога чувствительности. Имея в виду, что флюктуационный порог чувствитель-

ности радиотермометра около 0,05 К при постоянной времени четырех секунды, защита кабины от внешних СВЧ полей должна составлять не менее 80 децибел .

При этом необходимо следить, чтобы все измерения проводились при плотно закрытых дверях экранированной кабины, чтобы в экранированную кабину не вносились какие-бы то ни были физиотерапевтические или электроприборы, которые своим мощным радиоизлучением могут исказить результаты измерений.

Основные параметры использованного радиотермометра такие.

- I. Сердная частота полосы принимаемого сигнала - 1 ГГц.
2. Полоса пропускания на уровне -3 дБ - около 150 МГц.
3. Флуктуационный порог чувствительности - порядка 0,05 К при постоянной времени 4 секунды.
4. Пределы измеряемых температур у человека с использованием смещения нуля выходного прибора - от 20,0 до 45,0°С.
5. Погрешность измерения температуры:
  - а) в интервале от 32,0 до 38,0° - не более  $\pm 0,1^{\circ}$ ;
  - б) в интервалах ниже 32,0 и выше 38,0° - не более  $\pm 0,15^{\circ}$ .
6. Запись измеряемого сигнала может производиться любым стандартным самопищущим гальванометром (например, типа КСП-4), обладающим чувствительностью 10 милливольт на шкалу.
7. Полоса пропускания выходного тракта радиометра - порядка 0,06 Гц (постоянная времени - 4 секунды).
8. Для снижения ошибки измерения температуры, вызванной неполным согласованием контактной антенны с телом человека, в радиотермометре используется метод регулируемого подшумливания антенны.
9. Частота модуляции -  $1000 \pm 100$  герц.
- X. Контактная антенна соединяется с входным блоком радиометра гибким коаксиальным кабелем длиной 1,8 метра.
- II. Общее питание радиотермометра осуществляется от сети 220 вольт переменного тока частотой 50 герц. Мощность, потребляемая радиометром, - не более 50 ватт, а мощность, потребляемая эталонами теплового радиоизлучения, каждого в максимальном значении - 500 ватт, а в среднем - около 20 ватт.

## 4. ОБСЛУЖИВАНИЕ РАДИОТЕРМОМЕТРА

Установку радиотермометра в экранированной кабине, зануление всех корпусов, подводку питания разрешается выполнять только специалисту, имеющему квалификационную группу по технике электробезопасности не ниже третьей. Поэтому дальнейшие указания относятся к работе с радиотермометром, уже установленным в кабине и подготовленным к обслуживанию назначенными для этого людьми, прошедшими соответствующий инструктаж и обучение.

A. Включение приборов. Перед включением приборов необходимо:

- I. Проверить, что корпуса всех приборов: радиотермометра, эталонов теплового радиоизлучения и самопищущего гальванометра - надежно занулены.
2. В эталонах радиоизлучения должна быть налита вода, и ее уровень должен быть на 5-10 мм выше лавсановой пленки в стакане для антенны.
3. Убедиться в том, что разъемы антенного кабеля прочно зафиксированы на блоке входа радиометра и на антenne.
4. Убедиться, что самопищий гальванометр подсоединен к блоку управления радиометра.

После перечисленного можно включить радиотермометр нажатием кнопки "сеть". При этом должны засветиться два красных сигнала - сеть и нагрев. Этalonы включаются тумблерами. На них должны засветиться два сигнала - сеть и нагрев, а также начать вращать ся язычка, перемешивающие воду.

Перед началом измерений аппаратура должна быть прогрета в течение двух часов. Оставлять ее в это время без надзора запрещается. После прогрева можно приступать к работе.

Примечание. Во время прогрева аппаратуры и во время дальнейшей работы световые сигналы на эталонах теплового радиоизлучения будут то включаться, то выключаться. Это свидетельствует о нормальном режиме терmostабилизации.

Для выключения аппаратуры достаточно нажать на кнопку "сеть" и выключить эталоны. При этом выключаются все световые сигналы.

Б. Измерение глубинной температуры. После прогрева аппарата в течение двух часов должна быть выполнена калибровка радиотермометра. Для этого:

1. Включается самопищий гальванометр и пускается лента.
2. Антenna устанавливается на этalon с температурой  $t_{\alpha_1}$ , и этот сигнал записывается на ленте самописца.
3. Антenna устанавливается на этalon с температурой  $t_{\alpha_2}$ , и записывается этот сигнал. Ручку "смещение нуля" теперь трогать не следует.
4. Антenna направляется в пространство, и записывается этот сигнал. Определяется расчетом температуры шумов антенны по формуле

$$T_A = t_{\alpha_1} + \frac{a_{\text{пр}} - a_{\alpha_1}}{a_{\alpha_2} - a_{\alpha_1}} (t_{\alpha_2} - t_{\alpha_1}). \quad (4.1)$$

Значение  $T_A$  должно быть от 36,0 до 37,0° при измерениях полостных органов, а если значение антенной температуры, когда она направлена в пространство, отличается от этой температуры, то ручкой, управляющей ГШ подшумливания, подправляют значение  $T_A$  приблизительно до 36,5°. Однако температура антенны поддерживается весьма стабильно и необходимость в такой регулировке бывает весьма редкой. Калибровка радиотермометра на этом заканчивается.

5. Чтобы измерить температуру какого-либо органа после калибровки радиотермометра, антenna приставляется к коже человека, куда по кратчайшему расстоянию проецируется интересующий нас орган. Самописец регистрирует отклонение стрелки до значения  $a_x$ , по которому определяется расчетным путем искомая температура

$$T_x = t_{\alpha_1} + \frac{a_x - a_{\alpha_1}}{a_{\alpha_2} - a_{\alpha_1}} (t_{\alpha_2} - t_{\alpha_1}). \quad (4.2)$$

**Примечание.** Как указывалось во второй главе, радиоизлучение, принимаемое из глубинных органов человека, и собственное излучение входных цепей радиометра носят шумовой характер и стрелка самопищущего гальванометра выписывает на ленте не ровную линию, а шумовую дорожку. В соответствии с теорией вероятности и так называемым гауссовым распределением максимальная ширина шума в ой дорожки составляет шесть флюктуационных порогов, т.е. при  $\Delta T_{\min} = 0,05$  К (как указано в главе 3) максимальная ширина шумовой дорожки составляет 0,3 К. Поэтому при измерениях следует запись на ленте усред-

нять вручную, делая черточку по середине шумовой дорожки. На рис.4 показан образец калибровки радиотермометра и запись температуры предстательной железы.



Рис.4

$$T_{\text{пр}} = \frac{38 - 33}{125} \cdot 70 + 33 = 35,8^{\circ}$$

Пример записи распределения температуры при исследовании предстательной железы

Здоровый К. 24 года. Норма

**В. Обслуживание прибора.** Какого-либо особого, специфического обслуживания радиотермометр не требует. Необходимо лишь аккуратное обращение с ним: соблюдение технических правил эксплуатации, оберегание антенны от падений и ударов, а кабеля — от излишних перекручиваний. Следует наблюдать за надежностью соединений коаксиальных разъемов, зануляющих проводов и достаточно го количества воды в эталонах. Вода в них постепенно испаряется и ее следует регулярно доливать. Для предохранения воды от "запзвтаний" ее следует менять. Можно капнуть в воду одну каплю фенола, но не обязательно. Нужно следить за целостью лавсановой пленки и при ее разрыве заменить новой. Антенну нельзя кипятить или подвергать термической обработке. Асептика допускается промывки о антены в 96-процентном спирте или в спиртовом растворе хлоргексидина.

**Г. Экранированная кабина.** Питающее силовое напряжение 220 вольт переменного тока подается на кабину включением автоматического выключателя, расположенного на стене у входной двери комнаты. При его включении зажигаются осветительные лампы на кабине. Для подачи напряжения внуть кабины, на аппаратуру, включают автоматический выключатель, вмонтированный в сетевой фильтр, который укреплен на боковой стенке кабины. При уборке кабин эти выключатель должен быть выключен. По окончании работы должны быть выключены оба.

## 5. ПРАКТИЧЕСКАЯ РАБОТА С РАДИОТЕРМОМЕТРОМ

Работающим с медицинским радиотермометром рекомендуется придерживаться определенных правил и определенной последовательности в действиях и манипуляциях.

Так, прежде всего – асептика. Контактная антенна для измерения глубинной температуры устанавливается на обнаженную поверхность кожи, где у разных пациентов имеется своя микрофлора, могут быть и кожные бактерии, в том числе и болезнетворные. Даже в том случае, если антенна устанавливается не на слизистые поверхности или язвенные, что вообще не рекомендуется, а на кожущуюся сухой кожу, антенну необходимо дезинфицировать. Особенно следует оберегать от попадания инфекции лавсановую пленку эталонов теплоизлучения. Самый простой и в то же время эффективный способ дезинфекции антенны – это ее тщательная обработка 96-процентным спиртом или спиртовым раствором хлоргексидина. Стерилизовать антенну кипячением или термической обработкой категорически запрещается, так как это может привести к выводу ее из строя.

Самая целесообразная последовательность работы такая. Перед проведением калибровки антенна тщательно обрабатывается спиртом, затем производится калибровка, после которой чистой антенной выполняются измерения. Закончив измерения, антенну немедленно вновь обрабатывают спиртом. Таким образом и, антенна всегда чистая, и оберегается от попадания микробов лавсановая пленка эталонов. Тем не менее, рекомендуется ежедневно до и после работы протирать лавсановую пленку ватным или марлевым тампоном, смоченным спиртом. Для дезинфекции антенны удобно применять чашку Петри с налитым в нее спиртом, куда погружают антенну и промывают марлевым бинтом, а затем насухо протирают таким же бинтом. По нормам, при массовом обследовании пациентов, с учетом испарения из чашки Петри, расход спирта составляет около трех миллилитров на одного пациента. При единичных обследованиях, расход спирта по нормам увеличивается до полутора раз. Периодически следует протирать спиртом и сам антенный кабель, поверхность которого представляет собой хлорвиниловую трубку, а затем насухо вытирать ее марлевой салфеткой.

При обработке записи на ленте самопишущего гальванометра КСП-4 удобно вести отсчет уровней от линии, соответствующей калиб-

ровке  $t_{31}$ . Отсчет лучше выполнять в миллиметрах, а температуру  $T$  определять по формуле

$$T_x = t_{31} + \frac{a_x - a_{31}}{a_{32} - a_{31}} (t_{32} - t_{31}), \quad (5.1)$$

если запись правее линии, соответствующей  $t_{31}$ , и по формуле

$$T_x = t_{31} - \frac{a_{31} - a_x}{a_{32} - a_{31}} (t_{32} - t_{31}), \quad (5.2)$$

если левее этой линии.

Под величиной  $a_{32} - a_{31}$  понимают размах записи калибровки, а под величиной  $a_x - a_{31}$  – размах между записью излучения человека и первого эталона.

Для удобства можно рекомендовать заранее составить таблицы значений  $t_x^0$  для разных величин размахов калибровки, пример которой приводится ниже.

Образец таблицы исчисления температуры органов при калибровке по эталонам  $T_{31} = 32,0^\circ$  и  $T_{32} = 37,2^\circ$  и размахе калибровочной записи от 101 до 105 мм

М и н у с				:	П л ю с									
T	:	мм	::	T	:	мм	:	мм	:	T	:	мм	::	T
I	:	2	::	3	:	4	:	5	:	6	::	7	:	8
28,6		67		31,9		1		1		32,1		67		35,4
28,5		69		31,8		3		3		32,2		69		35,5
28,4		71		31,7		5		5		32,3		71		35,6
28,3		73		31,6		7		7		32,4		73		35,7
28,2		75		31,5		9		9		32,5		75		35,8
28,1		77		31,4		II		II		32,6		77		35,9
28,0		79		31,3		I3		I3		32,7		79		36,0
27,9		81		31,2		I5		I5		32,8		81		36,1
27,8		83		31,1		I7		I7		32,9		83		36,2
27,7		85		31,0		I9		I9		33,0		85		36,3
27,6		87		30,9		2I		2I		33,1		87		36,4

I	:	2	::	3	:	4	:	5	:	6	::	7	:	8
27,5		89		30,8		23		23		33,2		89		36,5
27,4		91		30,7		25		25		33,3		91		36,6
27,3		93		30,6		27		27		33,4		93		36,7
27,2		95		30,5		29		29		33,5		95		36,8
27,1		97		30,4		31		31		33,6		97		36,9
27,0		99		30,3		33		33		33,7		99		37,0
26,9		101		30,2		35		35		33,8		101		37,1
26,8		103		30,1		37		37		33,9		103		37,2
26,7		105		30,0		39		39		34,0		105		37,3
26,6		107		29,9		41		41		34,1		107		37,4
26,5		109		29,8		43		43		34,2		109		37,5
26,4		III		29,7		45		45		34,3		III		37,6
26,3		II3		29,6		47		47		34,4		II3		37,7
26,2		II5		29,5		49		49		34,5		II5		37,8
26,1		II7		29,4		51		51		34,6		II7		37,9
26,0		II9		29,3		53		53		34,7		II9		38,0
25,9		I21		29,2		55		55		34,8		I21		38,1
25,8		I23		29,1		57		57		34,9		I23		38,2
25,7		I25		29,0		59		59		35,0		I25		38,3
25,6		I27		28,9		61		61		35,1		I27		38,4
25,5		I29		28,8		63		63		35,2		I29		38,5
25,4		I31		28,7		65		65		35,3		I31		38,6

## 6. ОБСЛЕДОВАНИЕ ЖЕЛУДОЧНО-КИШЕЧНОГО ТРАКТА

Для обследования желудочно-кишечного тракта пациент ложь на кушетку на спину, обнажив живот от груди до лонной области, освободив все стягивающие элементы одежды. Обследование проводится натощак. Необходимо отметить, что при наборе статистических данных по распределению температуры по кишечнику у здоровых людей пришлось столкнуться с большой трудностью найти достаточное количество людей со здоровым желудочно-кишечным трактом – без клинических проявлений той или иной патологии – и обследованы х традиционными медицинскими методами. Больше таких людей было в возрасте до 30 лет. Усредненное распределение температуры органов

у людей, считавших себя здоровыми, в возрасте до 30 лет, приведено на рис.5, а на рис.6 показана область распределения температур органов у здоровых людей в возрасте до 30 лет, с доверительной вероятностью 0,9. У людей в возрасте старше 30 лет установить с большой достоверностью нормальное распределение температуры не представляется возможным. Более или менее приемлемым можно считать показанное на рис.7 усредненное распределение температуры органов у людей, считавших себя здоровыми, в возрасте от 30 до 50 лет, а на рис. 8 область распределения нормальных температур органов у той же возрастной группы. Сразу заметим здесь два отличия: во-первых, температура органов у лиц старшего возрастной группы почти на градус ниже, чем у молодых, и, во-вторых, у пожилых людей тонкий кишечник еще прохладнее. У людей старше 50 лет не удалось установить

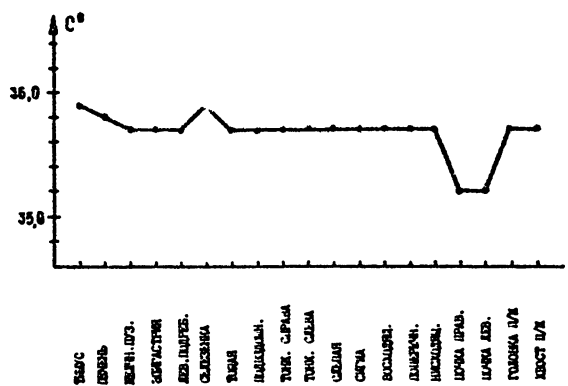


Рис.5

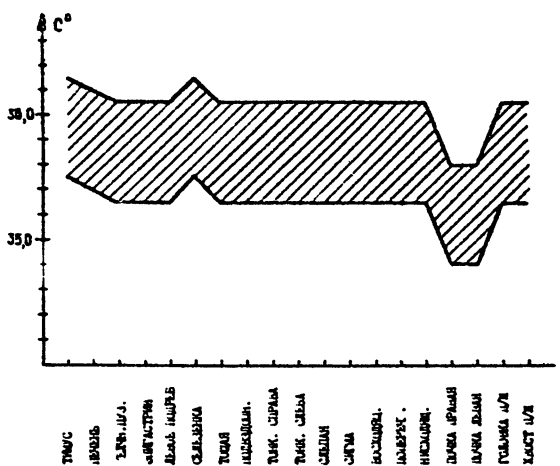


Рис.6

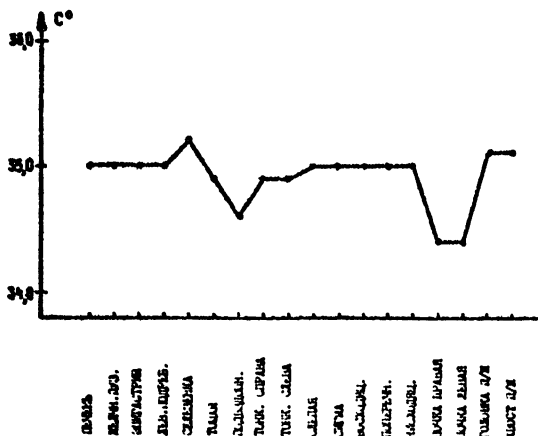


Рис.7

значительное повышение температуры слепой кишки, что показано на рис.9 (возраст до 30 лет). Это тем более важно, что диагностика острого аппендицита порой весьма затруднена /22-24/, а измерение температуры аппендикса нереально, так как червовидный отросток может находиться в неопределенных местах - малый таз, за печенью и т.д.

На рис.10 показано увеличение температуры относительно статистического среднего значения эпигастрии и левого подреберья на  $0,3-1,0^{\circ}$ , что наблюдается при дуодените и гастрите, у людей в возрасте до 30 лет. Естественно, чем выше температура, тем острее процесс. Превышение температуры на  $0,8-1,0^{\circ}$ , и даже еще больше, может свидетельствовать о язве и даже

норму распределен и я температур, т.к. за несколько лет наблюдений и сбора информации мы не набрали достаточный материал для достоверной статистической обработки. Тем не менее, на фоне полученного статистического материала довольно отчетливо проявляются патологию. Так, например, при остром аппендице наблюдаются довольно

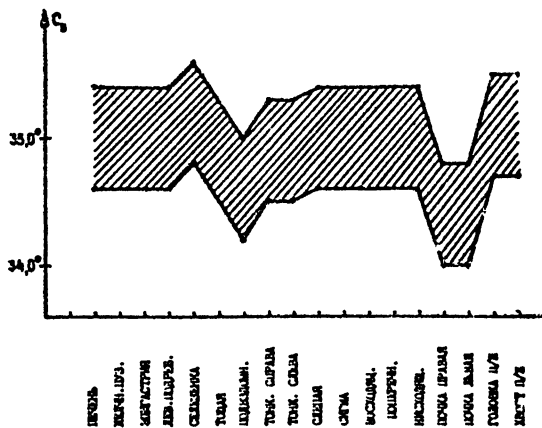


Рис.8

об ощущении.

Резкое повышение температуры печени и (рис. II) наблюдается при гепатите, значительно – при ощущении, а если замечено большое понижение температуры желчного пузыря (рис. I2), это может говорить о наличии в нем камней или о дискинезии желчно-выводящих путей. Повышение температуры желчного пузыря – о холецистите.

Понижение температуры подвздошной кишки (рис. I3) сигнализирует о возможном колите. Если при этом наблюдается повышение температуры сигмовидной кишки, это может говорить о симбозите. Но здесь необходимо учитывать, что в неочищенном кишечнике скопление каловых масс также дает заметное повышение температуры.

Как показала практика, для обследования кишечника целесообразно измерять температуру в следующих областях: печень – надреберье по средне-ключичной линии; правое подреберье – желчный пузырь; эпигастрия; левое подреберье; селезенка; тощая кишка; подвздошная кишка; тонкий кишечник справа и слева; слепая кишка;

сигмовидная кишка; восходящая ободочная; поперечная ободочная и нисходящая ободочная – толстый кишечник.

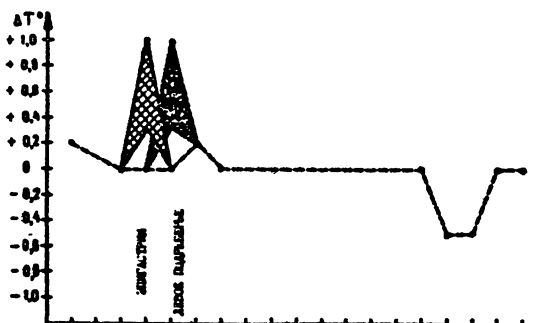
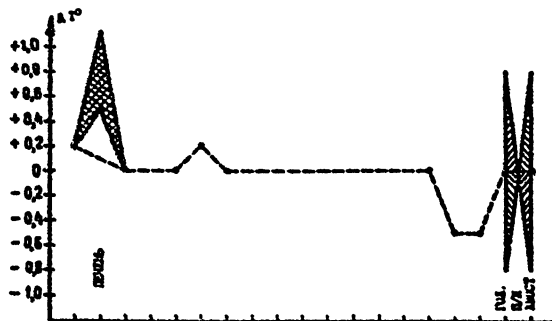


Рис.10

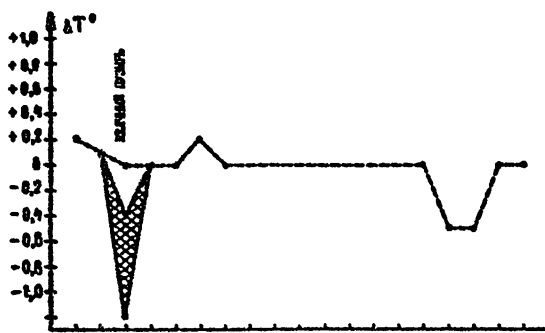
Р и с. II

Области изменения температуры печени и поджелудочной железы у людей в возрасте до 30 лет, страдающих холециститом и панкреатитом



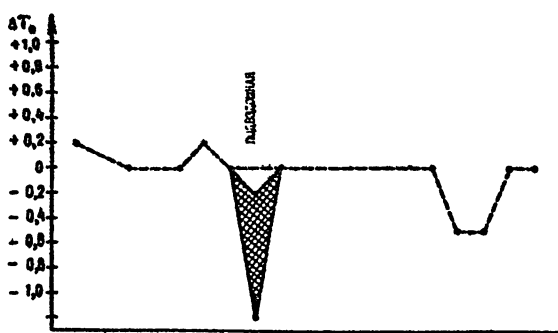
Р и с. I2

Область изменения температуры желчного пузыря при желчно-каменной болезни у людей в возрасте до 30 лет



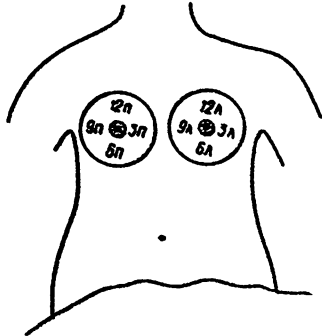
Р и с. I3

Возраст до 30 лет



## 7. РАДИОТЕРМОСМЕТРИЯ МОЛОЧНЫХ ЖЕЛЕЗ

Радиотермометрия молочных желез проводилась в США /3/ и в СССР - в Горьком /25/ с целью выявления патологии - опухоли, мастопатии и пр. Однако в США радиотермометрия проводилась на радиоволнах другого диапазона и, следовательно, полученные там результаты трудно сравнимы с результатами, полученными в Горьком. Для получения необходимых сведений о нормальном распределении температуры по молочным железам было обследовано несколько сот женщин разных возрастных групп, считавших себя здоровыми и прошедших традиционное обследование у гинекологов и онкологов. Статистическая обработка результатов измерений дала картину распределения глубинной температуры по здоровой молочной железе. Выяснилось, во-первых, что среднее значение температуры здоровой молочной железы изменяется с возрастом женщины. У молодых она выше на градус-полтора, чем у пожилых. Во-вторых, распределение температуры по же-лезе зависит от месячного цикла. Во время менструации или овуляции в молочной железе могут появляться области, температура которых отличается на градус и более от нормы, что совершенно исклю-чено в "холодный" период. В климактерическом периоде у здоровых женщин также могут появляться области с большой разницей темпера-туры. В-третьих, области с большой разницей температур в здоровых молочных железах иногда наблюдаются при патологии в гениталиях. Отсюда был сделан вывод, что для достоверной диагностики состояния молочных желез необходимо, во-первых, проводить обследование их в "холодный" период, т.е. в течение первых 2-7 дней после окон-чания месячных, а у пожилых в период устойчивой менопаузы, и, во-вторых, целесообразно тут же провести радиотермометрию гениталий. Для выяснения картины распределения температуры в молочных же-лезах при различных патологиях, было обследовано несколько сот больных, диагноз заболевания которых был установлен традиционными методами в смотровых и гинекологических кабинетах, в женских кон-сультациях. Встречалась различная патология: мастопатия, аденома, рак и др. Статистическая обработка здесь была осложнена тем, что одинаковых патологий с одинаковой их топографией не было. Поэтому при статистической обработке обращалось внимание не на топографию температуры, а на соответствие температуры той или иной патоло-гии.



Р и с. I4

Рекомендуемые области  
молочных желез  
для радиотермометрии  
и их обозначение  
на радиотермограмме

В отличие от принятого обследования молочных желез по квадрантам, мы применили порядок обследования "по часам" /25/. Это не только упрощает получение информации, но позволяет, в случае необходимости, более точно локализовать место узла или опухоли. Таким образом, молочная железа рассматривается как циферблат часов (рис. I4) и антенна ставится на соответствующий час.

При диспансеризации и первоначальном обследовании используются на каждой железе пять областей: 12, 6, 3, 9 и сосок. Этого, как правило, достаточно, т.к. антenna имеет диаграмму около четырех сантиметров в диаметре (на волне  $\lambda = 30$  см). Если молочная железа очень крупных размеров, можно увеличить, например, "правая 12" - около соска и "правая 12 штрих" - по тому же радиусу, но выше первой области. Аналогично "правая 6 штрих" - ниже области "правая 6", а также выбрать дополнительные точки, например, 4.30, 7.30 и т.д. Перед каждым обследованием и после каждой пациентки антenna дезинфицируется погружением в спирт.

Для обследованной пациентки ложится на кушетку, обнаженная до пояса. Руки кладут за голову. Этим достигается уплощение молочных желез и отрывается доступ к измерению температуры подмышечных лимфатических узлов (рис. I5). Измеряются поочередно симметричные об-

Р и с. I5



ласти обеих желез. Например, "правая 12", "левая 12", "правая 6", "левая 6", "правая 3", "левая 9", "правая 9", "левая 3", "правый сосок", "левый сосок". Необходимо обратить внимание на то, чтобы во время измерений пациентка была спокойна, по возможности - расслаблена. Особенно это относится к женщинам, страдающим неврастенией, канцерофобией. Поэтому, перед измерениями, пока производят калибровку радиотермометра по тепловым эталонам радиомезурия, пациентку информируют, что обследование безболезненное, абсолютно безвредное и можно также ей рекомендовать провести несколько успокаивающих дыхательных упражнений: глубокий вдох и медленный, медленный выдох. Обязательно собирается анамнез: необходимо опросить пациентку о том, как регулярно у нее месячные и когда были последние, какие жалобы. Это должно быть записано на ленте самописца.

Необходимо подчеркнуть, что пальпаторное обследование молочной железы не рекомендуется производить до радиотермометрии и измерений, чтобы даже легким массажем не повысить температуру железы. После радиотермометрии молочные железы обследуются пальпаторно с целью обнаружения уплотнений в тех областях, где замечено понижение или повышение температуры железы. Однако надо иметь в виду, что пальпаторное обследование не во всех случаях может дать информацию об уплотнении или опухоли, если последние имеют небольшие размеры (как, например, в I-й стадии рака - меньше 2 см в диаметре) и расположены на глубине 3-4 сантиметров. Данные пальпаторного обследования, записанные на ленте самописца, помогают при последующей обработке радиотермограммы.

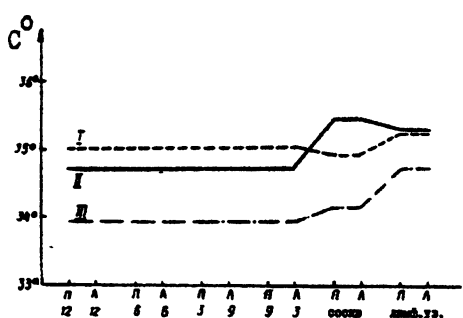


Рис. I.6

Результаты проведенных исследований и измерений удобнее и нагляднее иллюстрировать графически. Так на рис. I.6 показано усредненное по большими группам здоровых женщин распределение глубинной температуры по молочным железам. График I соответствует возрастным группам моложе 30 лет, графики II и III - соответственно возрастным группам от 30 до 50 лет и

старше 50 лет. Первое, что здесь нужно подчеркнуть, это то, что у пожилых женщин молочная железа заметно прохладнее, чем у молодых, и разность температур может быть больше одного градуса. Второе, что видно из графика, — у молодых соски несколько прохладнее ткани железы, а у пожилых наоборот, теплее.

На рис.17 показана область температур молочных желез у здоровых женщин в возрасте до 30 лет, с доверительной вероятностью  $P = 0,99$ . При этой доверительной вероятности разброс с среднего значения температуры в молочной железе может достигнуть  $\pm 0,4$  градуса. Однако разность температур симметрична и в участках молочных желез у здоровых женщин возрастной группы до 30 лет не превышает, как правило, 0,2 градуса. На рис.18 показано распределение температуры по молочным железам у здоровой женщины Ш., 21 года, в холодный период (10 дней после начала месячных). На этом же графике штрих-пунктирными линиями показана область температур, в которую укладываются с доверительной вероятностью  $P = 0,99$  температуры молочных желез здоровых женщин в этой возрастной группе.

На рис.19 показана область температур молочных желез у здоровых женщин возрастной группы от 30 до 50 лет, с доверительной вероятностью  $P = 0,99$ . А на рис.20 приведен, для примера, график распределения температуры по молочным железам у здоровой женщины К. в возрасте 36-и лет в "чистую неделю". В

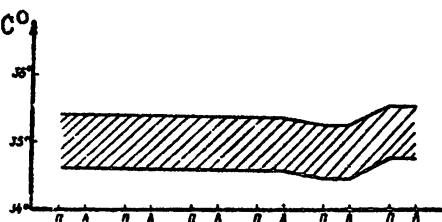


Рис.17

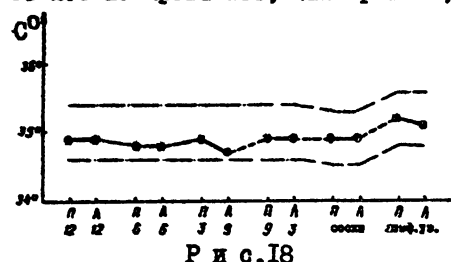


Рис.18

распределение температуры по молочным железам у здоровой женщины Ш., 21 года, в холодный период (10 дней после начала месячных). На этом же графике штрих-пунктирными линиями показана область температур, в которую укладываются с доверительной вероятностью  $P = 0,99$  температуры молочных желез здоровых женщин в этой возрастной группе.

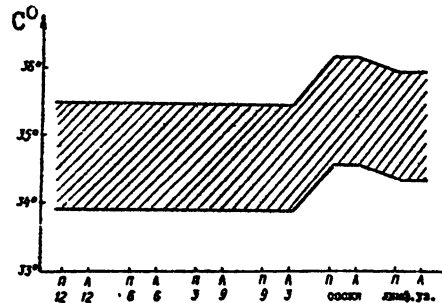


Рис.19

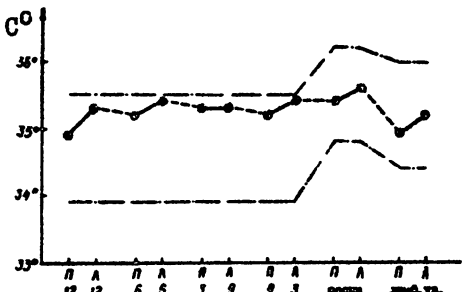


Рис.20

этой возрастной группы (от 30 до 50 лет) разность температур симметричных областей молочных желез у здоровых женщин может достичь 0,3–0,4 градуса. Здесь же штрих-пунктирной линией обозначена область разброса температур молочных желез с доверительной вероятностью  $P = 0,99$  у этой возрастной группы.

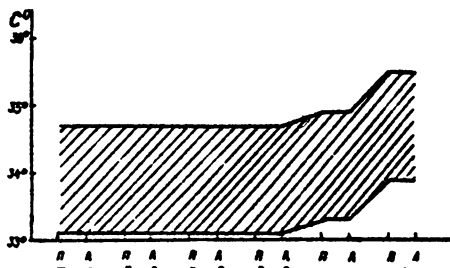


Рис.21

На рис.21 представлен график области температур молочных желез у здоровых женщин возрастной группы старше 50 лет, с доверительной вероятностью  $P = 0,99$ . Здесь максимальный разброс от среднего значения температур достигает  $\pm 0,8$  градуса, но максимальная разность температур симметричных областей молочных желез здоровой женщины в период устойчивой менопаузы не превышает 0,3–0,4 градуса. Это иллюстрируется рис.22, где приведено распределение температуры по молочным железам здоровой женщины 57 лет. Устойчивая менопауза. Штрих-пунктирной линией ограничена область температур у здоровых женщин старше 50 лет. Доверительная вероятность  $P = 0,99$ . Следует обратить внимание на то, что температура подмышечных лимфатических узлов вышла за пределы области доверительного интервала. Это может быть объяснено, как и

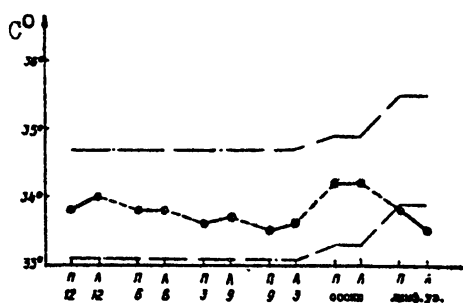
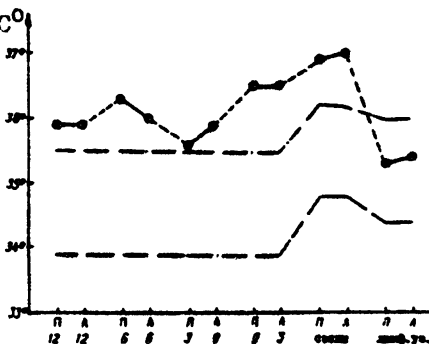


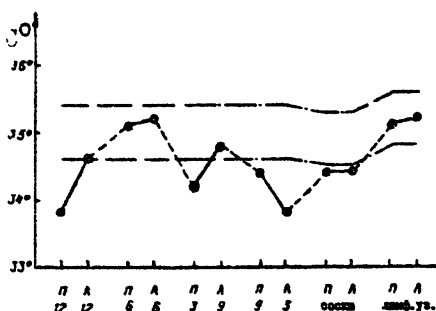
Рис.22

в данном конкретном случае, повышенной потливостью и влажностью ножки в подмышечных владинах.

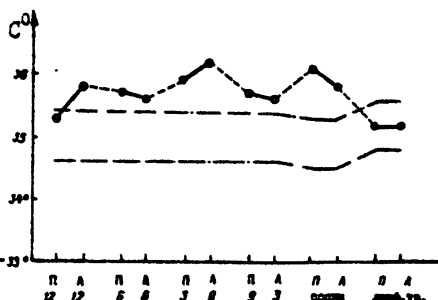
Выше указывалось, что во время менструации, овуляции и климактерического периода в молочных железах здоровых женщин появляются области с большой разностью температур, что может быть приято (если не учитывать перечисленных факторов) за патологию. Это иллюстрируется на рис.23-26. Доверите льная вероятность  $P=0,99$ . Так, на рис.23 представлено распределение температуры по молочным же-лезам у здоровой женщины 34 лет в период овуляции, на рис.24 - у здоровой 20-летней во время менструации, на рис.25 - у здоровой женщины 30 лет во время овуляции и на рис.26 - у здоровой женщины 51 года в климактерическом периоде, где штрих-пунктирной линией ограничена область температур у здоровых женщин старше 50 лет в период устойчивой менопаузы или чистой недели, а на рис.23-25 штрих-пунктирной линией ограничена область температур у здоровых женщин в холодный период.



Р и с.23



Р и с.24



Р и с.25

Следующие графики иллюстрируют патологию. Так, на рис.27 показано распределение температуры в молочных железах у женщины 28

ляет страдающей аденоузом правой молочной железы. Здесь следует обратить внимание на два обстоятельства. Первое - это то, что разность температур симметричных областей очень велика, достигает градуса и более. Второе обстоятельство - то, что здоровая железа имеет температуру, укладывающуюся в границы нормы при доверительной вероятности  $P = 0,99$ , а больная - значительно ниже нормы. В то же время температура сосков превышает норму на 0,5-0,8 градуса. Штрих-пунктирной линией здесь ограничена область температур у здоровых женщин до 30 лет.

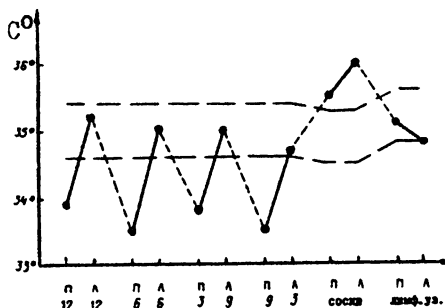


Рис.26

На рис.28 дан график распределения температуры при мастопатии у больной в возрасте 63 лет. Штрих-пунктирной линией ограничена область температур у здоровых женщин в период менопаузы,  $P = 0,99$ . Очень важно отметить, что здесь имеет место не только большая разность температур симметричных областей желез, но и резкое снижение температуры в исследованных точках. При пальпаторном обследовании в этих точках явственно обнаруживаются уплотнения и узелки. И то, что температура этих уплотнений сильно занижена, говорит о доброкачественности процесса в отличие от рака /26/, пример распределения температур при котором показан на рис.29. У больной К. 58 лет рак левой молочной железы подтвержден маммографией и биопсией. На радиотермограмме видно, что разность температур в симметричных областях достигает двух градусов, а температура пораженной железы намного выше среднестатистической температуры для данной возрастной группы. На рисунок область температур у здоровых женщин с доверительной вероятностью  $P = 0,99$  ограничена штрих-пунктирными линиями.

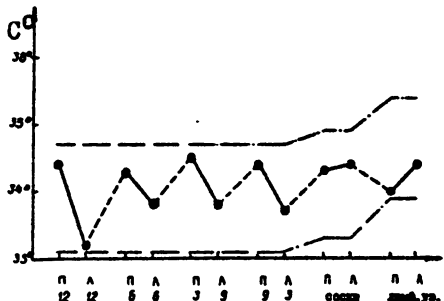
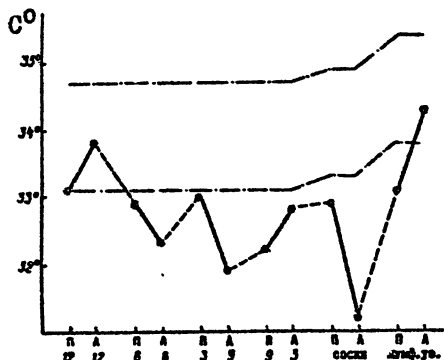
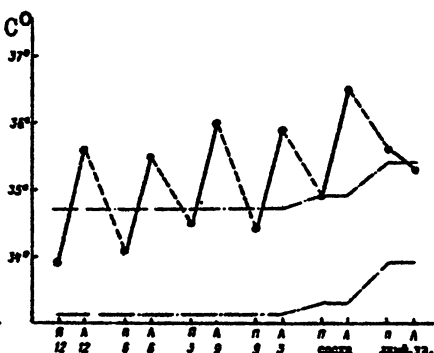


Рис.26

На рис.28 дан график распределения температуры при мастопатии у больной в возрасте 63 лет. Штрих-пунктирной линией ограничена область температур у здоровых женщин в период менопаузы,  $P = 0,99$ . Очень важно отметить, что здесь имеет место не только большая разность температур симметричных областей желез, но и резкое снижение температуры в исследованных точках. При пальпаторном обследовании в этих точках явственно обнаруживаются уплотнения и узелки. И то, что температура этих уплотнений сильно занижена, говорит о доброкачественности процесса в отличие от рака /26/, пример распределения температур при котором показан на рис.29. У больной К. 58 лет рак левой молочной железы подтвержден маммографией и биопсией. На радиотермограмме видно, что разность температур в симметричных областях достигает двух градусов, а температура пораженной железы намного выше среднестатистической температуры для данной возрастной группы. На рисунок область температур у здоровых женщин с доверительной вероятностью  $P = 0,99$  ограничена штрих-пунктирными линиями.



Р и с.28



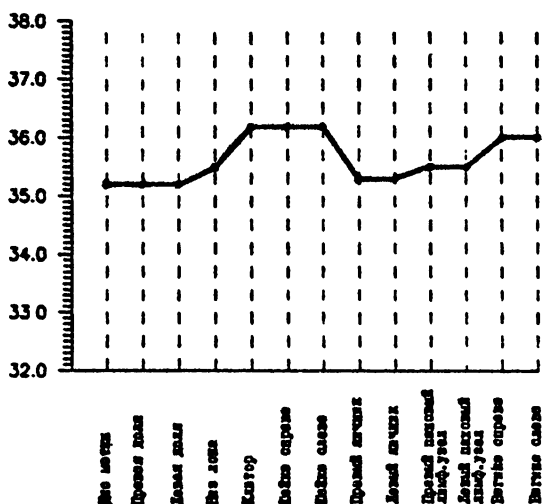
Р и с.29

## 8. РАДИОТЕРМОМЕТРИЯ ГЕНITALIЙ

Радиотермометрия гениталий – один из новых объективных методов обследования женщин /25/ с целью диспансеризации или выявления патологии матки и яичников. Его отличает абсолютная безвредность, позволяющая применять этот метод и беременным, безболезненность и простота. Для измерения температуры этих органов в антenna радиотермометра устанавливается на кожу. Отпадает необходимость внутривлагалищного бимануального обследования.

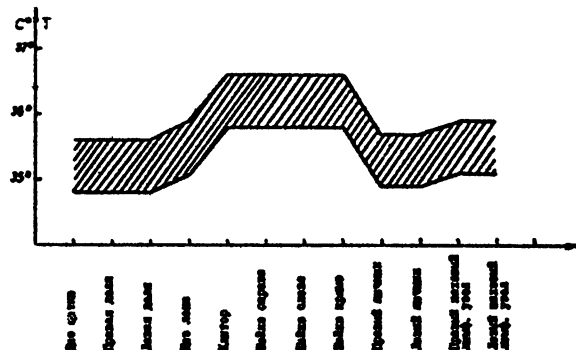
Для обследования больная ложится на кушетку на спину, предварительно естественным образом опорожнив мочевой пузырь. Антenna ставится поочередно на следующие точки: дно матки – верхний край лона по белой линии, правую и левую части матки – середине лона справа и слева от белой линии, низ лона, клитор, шейку матки – справа и слева от больших губ, влагалище – справа и слева от больших губ над уровнем входа, правый и левый яичники и правый и левый паравагинальные лимфатические узлы. Естественно, что перед обследованием и после каждой пациентки антenna тщательно дезинфицируется. Для дезинфекции применяется 96-процентный спирт или спиртовый раствор хлоргексидина. Необходимо отметить, что при обследовании антенну не следует устанавливать на слизистую поверхность. В том случае, когда на обследование поступают паци-

ентки из смотровых кабинетов или из женских консультаций, целесообразно требовать, чтобы в направлении указывалось, если это имеет место, о смещении тазовых органов /27, 28/. Тогда можно ввести необходимую корректировку в план обследования, изменения области установки антены.



Р и с.30

ти, при менопаузе температура клитора заметно ниже. Для учета разброса температур была выполнена статистическая обработка и на рис.31 показана область распределения температур гениталий у здоровых женщин в возрасте от 20 до 68 лет, с доверительной вероятностью  $P = 0,99$ .



Р и с.31

Для выяснения нормального распределения температуры гениталий, была обследована большая группа здоровых женщин, в холодный период, в возрасте от 20 до 68 лет. Все они прошли проверку состояния гениталий у гинеколога в женской консультации. На рис. 30 показано усредненное по этой группе распределение температуры указанных выше областей. Надо заметить, что с возрастом температура гениталий снижается, в частнос-

Чтобы представить себе картину распределения температур гениталий при различных заболеваниях, мы провели обследование и изучение больных, направленных к нам из женских консультаций с известными, заранее установленными диагнозами: фибромами, кистами, раком, беременностями.

Как правило, фиброма матки дает снижение температуры и в сравнении с нормой здоровой матки. Так на рис. 32 показано распределение иные температуры гениталий у больной Д. возраста 43 года. У нее обнаружена фиброма матки небольших размеров.

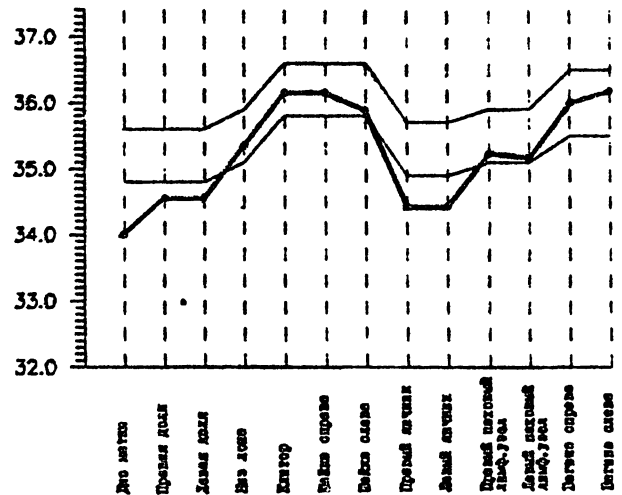
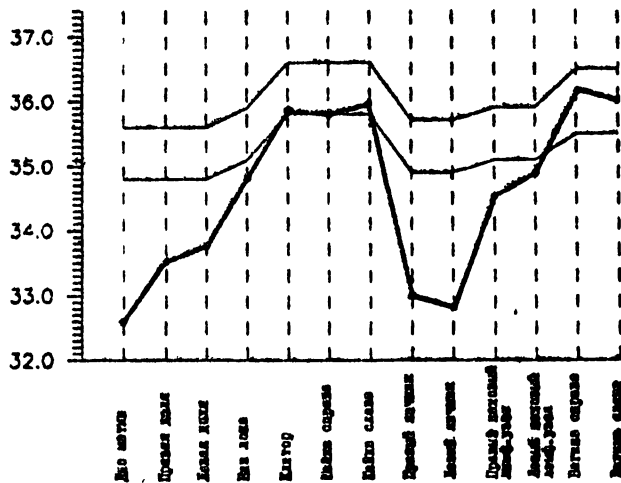


Рис. 32

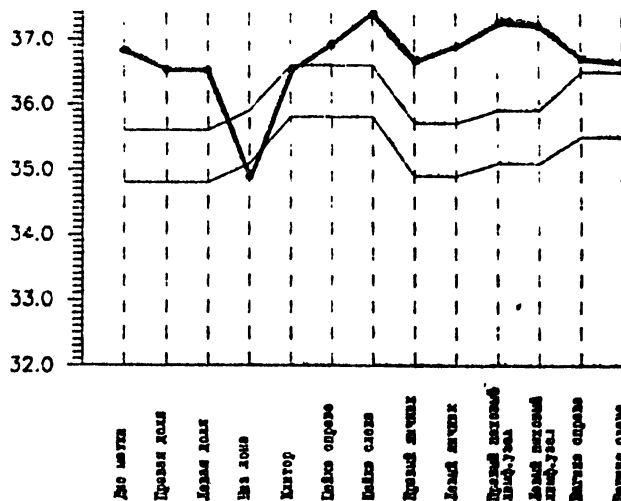
Здесь, а также на рис. 33–35, тонкими линиями обозначена область распределения температур гениталий у здоровых женщин,  $P = 0.99$ . Наблюдается снижение температуры дна матки на градус, да и тело матки имеет температуру на полградуса ниже нормы. Нужно отметить, что у этой больной несколько снижена температура и яичников. На следующем графике (рис. 33) приведено распределение температуры гениталий у больной С. 55 лет. У нее гинекологи диагностировали крупную, размером с кулак, фиброму. Здесь понижение температуры матки и яичников еще более заметно – на два с лишним градуса по сравнению с нормой.

Киста яичников дает небольшое понижение температуры в пределах до половины градуса. Совсем наоборот, значительное повышение температуры и матки, и лимфатических узлов дает рак. На рис. 34 показано распределение температуры гениталий у больной Г. 65 лет,



Распределение температуры гениталий у больной С. 55 лет

Р и с.33



Р и с.34

страдающей раком матки. Здесь и тело матки, и шейка, и лимфатические узлы имеют повышение температуры почти на два градуса.

Интересно отметить, что небольшое повышение температуры тела матки наблю-

дается и на ранней стадии беременности, тогда, когда обычным гинекологическим способом достоверно констатировать беременность невозможно.

Конкретный тому пример иллюстрирует следующий случай.

Гражданка Ш. 29 лет обратилась в женскую консультацию по поводу задержки месячных. Обследование не выявило патологию, ни беременность не обнаружило и пациентку у Ш. направили к нам на радиотермометрию.

Распределение температуры гениталий (рис.35) позволило нам высказать предположение о ранней стадии беременности и о том, что оплодотворенная яйцеклетка укрепилась в правой стороне матки. Рекомендовали гражданине Ш. пройти недели через полторы-две в женской консультации повторное обследование. Через две недели, т.е. на 4-й неделе была диагностирована беременность, подтвердившая наше предположение.

## 9. РАДИОТЕРМОСМЕТРИЯ ПОЧЕК

Для выполнения радиотермометрии почек пациент должен лечь на кушетку спиной вверху, обнажив область от лопаток до ягодиц. А н-

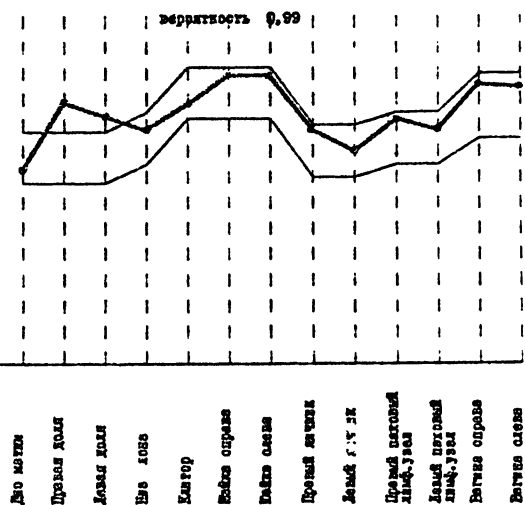


Рис.35

тenna ставится по очереди на проекции левой и правой почек. Как правило, у здоровых людей почки несколько холоднее области брюшной полости, что видно из рис.5-8. При воспалительных процессах температура почек повышается. Нужно заметить, что пальпировать и определить положение почки весьма затруднительно и не всегда удается. Поэтому следует ориентироваться по первому поясничному и двенадцатому грудному позвонкам, согласно топографической анатомии /29/. Однако в тех случаях, когда измеряемая температура почки оказывается выше нормы, может иметь место ее опущение. Установить это можно, сделав несколько измерений - на 1, 2, 3 сантиметра ниже первоначально определенного уровня.

У детей температура почек несколько выше, чем у взрослых и почти достигает значений, близких к температуре кишечника.

## IO. РАДИОТЕРМОМЕТРИЯ ПОДЖЕЛУДОЧНОЙ ЖЕЛЕЗЫ

Поджелудочную железу радиотермометрируют со стороны спины. Согласно /29/ ее средняя часть находится за первым поясничным позвонком, хвост частично закрыт левой почкой, а головка - правой почкой. Поэтому антенну нужно ставить для измерения температуры хвоста - между позвоночником и левой почкой, приблизительно на уровне двенадцатого грудного позвонка, а для измерения температуры головки - между позвоночником и правой почкой, приблизительно на уровне второго поясничного позвонка. В норме температура головки и хвоста одинаковы (рис.5-6), а при диабете и панкреатите головка и хвост поджелудочной железы могут иметь различную температуру (рис. II). Для диагностики патологии только одно значение температуры недостаточно. Необходим анамнез и клинические проявления. Можно заметить, что при холецисто-панкреатите нередко отмечается повышенная температура желчного пузыря и разница в температуре головки и хвоста поджелудочной железы.

## II. РАДИОТЕРМОМЕТРИЯ ПОЗВОНОЧНИКА

Радиотермометрия позвоночника, т.е. измерение распределения температуры вдоль него, открывает возможность диагностики ряда заболеваний без применения рентгенографии. Последняя, связанныя с ионизирующим облучением, не безвредна ни для пациента, ни для

окружающей среды. Поэтому там, где представляется возможность, имеет смысл исключить рентгенографию из арсенала диагностических средств и способов.

Особенно просто и достоверно диагностируется с помощью радиотермометрии остеохондроз — часто встречающееся заболевание. Но, как будет показано ниже, радиотермометрия дает характерную картину распределения температуры и при опухоли, и при грыжах диска /25, 30/.

Для обследования пациент ложится на кушетку кверху спиной. После обязательной традиционной дезинфекции в спирте, контакты я антисептика ставятся последовательно на интересующие позвонки, начиная от атланта до копчика. Наш опыт показал, что для первоначального, так сказать, обзорного обследования достаточно измерить температуру девяти позвонков: первого и четвертого шейных, первого, шестого и двенадцатого грудных, первого и пятого поясничных, середины крестца и копчика. В последующем, если окажется, что температура этих

девяти позвонков выходит за пределы нормы и потребуется более четко локализовать патологию, можно измерить температуру любого позвонка. Процедура радиотермометрии позвоночника показана на рис. 36

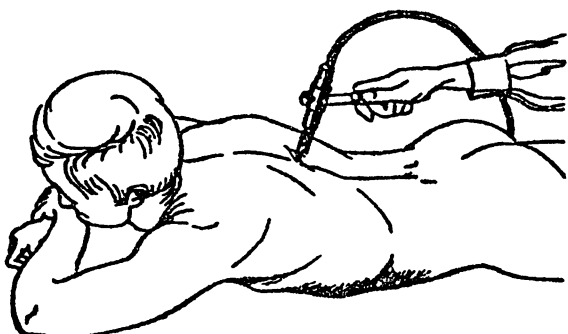
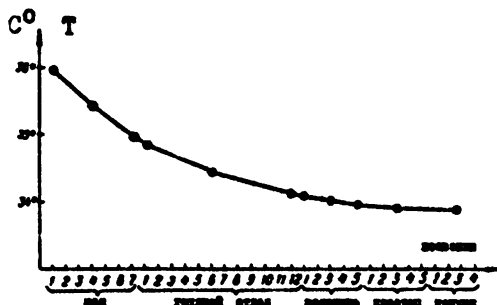


Рис. 36

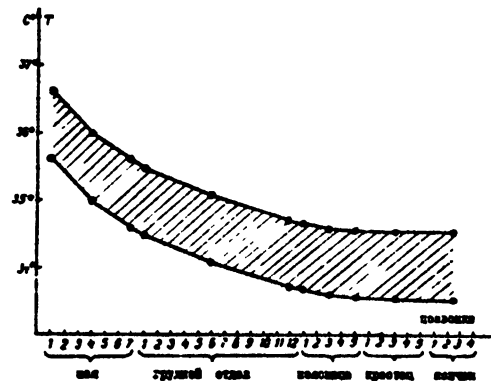
группы (более пятидесяти человек) здоровых молодых людей. В основном это были студенты и студентки 6-го курса медицинского института, в возрасте до 30 лет. Типичное усредненное распределение температуры вдоль позвоночника у здорового человека показано на рис. 37. Однако даже у этой группы здоровых людей был значительный разброс температуры позвоночника. Результаты измерений, статистически обработанные с доверительной вероятностью  $P = 0,99$ , позволили получить область температур позвоночника у здоровых людей. Эта область приведена на графике рис. 38.

Мы начали с того, что измерили распределение температуры вдоль позвоночника у большой



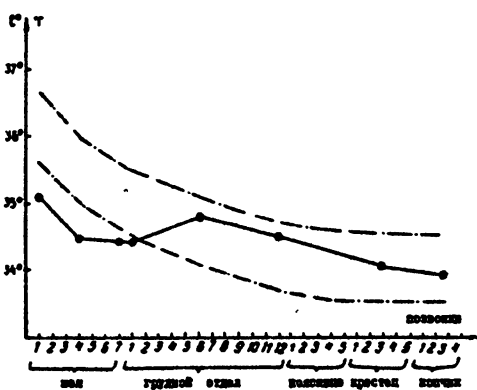
Р и с.37

Типичное усредненное распределение температуры вдоль позвоночника у здорового человека



Р и с.38

Область нормального распределения температуры вдоль позвоночника у здоровых людей



Р и с.39

Распределение температуры у больного, страдающего остеохондрозом шейного отдела позвоночника

Для исследования распределения температуры вдоль позвоночника при патологии мы проводили измерения у больных с известны м, полученным ранее диагнозом (рентгенография и пр.), или же, если диагноз ставился обычными методами после нашего обследования, сверяли и сопоставляли наши результаты с установленным позже диагнозом. В результате кропотливой статистической обработки было установлено с доверительной вероятностью  $P = 0,99$ , что при остеохондрозе наблюдается понижение температуры на 0,5-1,5 градуса по сравнению с нормальным распределением, а при корешковом синдроме — такое же повышение температуры. Для иллюстрации этого на рис. 39 приведен график распределения температуры у больного М. 50 лет, страдающего остеохондрозом шейного отдела позвоночника. На этом же графике штрих-пунктирной линией обозначена область нормального распределения температуры с доверительной вероятностью  $P = 0,99$ .

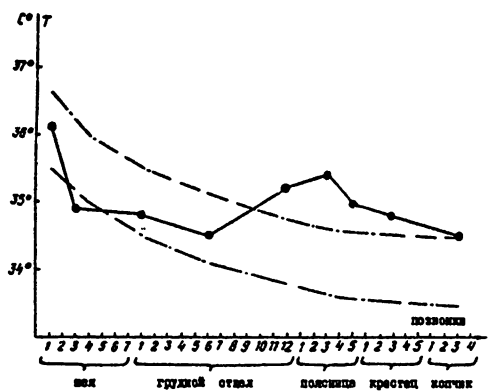


Рис. 40

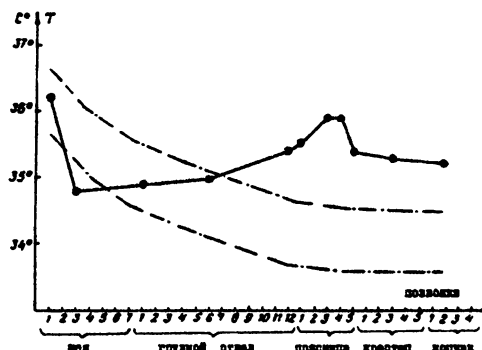
На рис. 40 аналогично пока зано распределение температуры у больного 36 лет, страдающего корешковым синдромом в период обострения.

Обследование больных х нейрохирургического отделения больницы дало возможность установить определенную картину распределения температуры вдоль позвоночника при грыжах позвоночника. В области грыжи темпера тура выше нормальной для данного субъекта на 1,5 - 2

градуса. Это показано на рис. 41 — у больной Л., 46 лет грыжа диска между 3 и 4 поясничными позвонками (подтверждено на операции). Еще выше температура при опухоли. Это показано на рис. 42. Больная Б. 54 лет, у нее опухоль в районе 2-4 поясничного позвонков с метастазами как в сторону крестца и копчика, так и грудного отдела.

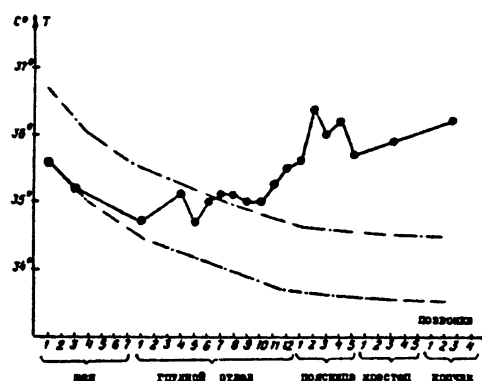
Надо заметить, что хирурги, нейрохирургического отделения и я больницы очень заинтересовались нашими измерениями и в большинстве случаев сравнивали результаты радиотермометрии со своими классическими обследованиями: пневмомиелографией, контрастной перику-

рографией и дисковидией. Как правило, результаты совпадали. Это еще раз подтверждает целесообразность радиотермометрии в диагностике патологии позвоночника.



Больная Л.,  
46 лет.  
Грыжа диска  
 $L_3 - L_4$   
(подтверждено  
на операции)

Рис. 41



Больная Б.,  
54 года.  
Опухоль  
 $L_2 - L_4$   
(метастазы)

Рис. 42

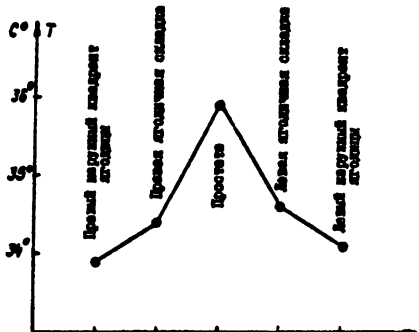
## 12. РАДИОТЕРМОМЕТРИЯ ПРЕДСТАТЕЛЬНОЙ ЖЕЛЕЗЫ

Обследуя предстательную железу, мы пришли к выводу о необходимости измерения температуры не только самой простаты, но и определения разности ее температуры и какой-то "опорной точки", обладающей определенной стабильностью температуры. Но эта "опорная" точка должна быть где-то поблизости от предстательной железы. Де-

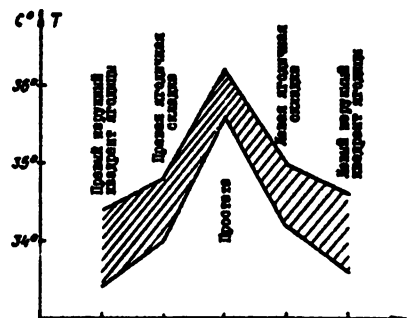
ло в том, что первоначально для измерения температуры больной принимал классическую позу: "колено-локтевое" положение. Больные, как правило, люди пожилые, нередко преклонного возраста. Эта поза для них очень затруднительна, неустойчива. Если выбирать "опорную" точку где-то вдали от простаты, больного нужно поворачивать, менять позу, что для него весьма утомительно. В результате некоторого отбора, мы остановились на четырех опорных точках: верхние наружные квадранты ягодиц, как область с менее разветвленной сосудистой системой, и ягодичные складки — области, близкие к предстательной железе. В дальнейшем мы отказались от утомительной для больного позы колено-локтевого положения и от опорных точек — верхних квадрантов ягодиц. Более удобная для больного и для проведения измерений оказалась такая поза: обследуемый, стоя на полу лицом к кушетке, расставляет ноги чуть шире плеч и наклонившись упирается локтями в кушетку. При этом и поза устойчива, и легок доступ к ягодичным складкам и простате. Для измерения температуры предстательной железы антenna устанавливается на кожу между заднеходячным отверстием и мошонкой.

Начали обследование мы с того, что подобрали группу молодых здоровых мужчин в возрасте до 30 лет — около 50 человек. В основном это были студенты медицинского института и добровольцы из стационара больницы, госпитализированные по не связанным с простатой заболеваниям. Типичное усредненное по 50 здоровых мужчинам распределение температуры в наружных ягодичных квадрантах, ягодичных складках и предстательной железе показано на рис. 43. Однако и здесь имеет место субъективный разброс температур. Область нормальных значений температур в этой сфере, с доверительной вероятностью  $P = 0,99$  показана на рис. 44. Как показал дальнейший клинический анализ, измерение температуры верхних наружных квадрантов ягодиц не дает дополнительно реализуемой информации. Поэтому мы пришли к выводу о нецелесообразности этих измерений и ограничились тремя точками: сама простата и правая и левая ягодичные складки /25, 31/.

Для получения картины распределения температуры в этих трех точках при различных патологиях простаты, было обследовано около ста больных урологического отделения больницы с известным диагнозом. В том числе 48 больных с аденомой простаты, 46 с простатитом и 4 с раком предстательной железы. Все измерения были обработаны

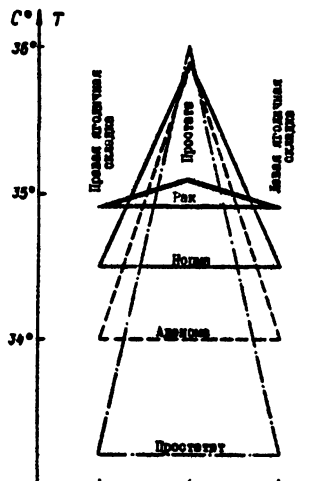


Р и с.43

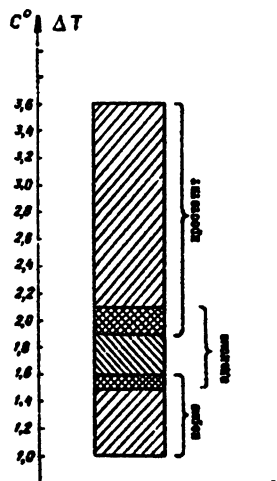


Р и с.44

статистически с доверительной вероятностью  $P = 0,99$ . При этом получены весьма интересные результаты. Оказывается, что при доброкачественных патологиях температура самой простаты мало отличается от температуры здоровой предстательной железы. Зато температура ягодичных складок сильно изменена. Усредненные значения этих температур по указанным больным приведены на рис.45. В то же время разброс разности температуры простаты и среднего значения температуры ягодичных складок может быть весьма значительным. Это показано на рис.46 - с доверительной вероятностью  $P = 0,99$ .



Р и с.45



Р и с.46

Совсем иначе выглядит картина при раке предстательной железы: впервых, ее температура резко понижена, а температура ягодичных складок наоборот — сильно повышенна.

Таким образом, разница между этих температур при раке может не только снизиться до нуля, но в нашей практике был один случай, когда температура ягодичных складок оказалась у больного раком простаты несколько выше температуры предстательной железы. В качестве примера на рис. 47 приведена радиотермограмма больного Л. 59 лет, страдающего раком предстательной железы.

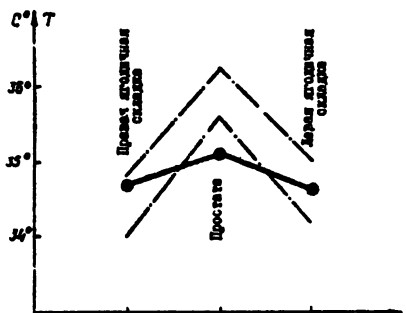


Рис. 47

### 13. РАДИОТЕРМОМЕТРИЯ НИЖНИХ КОНЕЧНОСТЕЙ (СОСУДИСТЫЕ ЗАБОЛЕВАНИЯ)

Измерение глубинной температуры тканей нижних конечностей открывает новые возможности в диагностике и наблюдении за лечением таких тяжелых заболеваний, как облитерирующий атеросклероз артерий и магистральных артерий.

Измерения рекомендуется проводить в шести точках нижних конечностей /32, 33/. Выбор этих точек обосновывается следующим образом. Первая точка — наружный квадрант ягодицы — система внутренней подвздошной артерии. Вторая точка — средняя треть бедра — система глубокой артерии бедра. Третья точка — подколенная область — ключевая область нижних конечностей в силу коллатеральных связей глубокой артерии бедра с подколенной. Четвертая точка — область икроножных мышц, наиболее уязвимый участок, ибо здесь наиболее часто возникает нагрузочная ишемия. Пятая точка — нижняя треть голени — зона, где перфузионное давление наиболее низкое. Шестая точка — подошвенная поверхность стопы, как самая дистальная область нижних конечностей, т.к. радиотермометр триплитатсантиметрового диапазона волн не позволяет измерять радиоизлучение и е

пальцев ног. Измерение следует проводить (у больного, лежащего на кушетке на животе), в симметричных точках обеих ног, начиная с наружного квадранта ягодиц. На рис.48 показана область распределения температуры в указанных точках здорового человека,  $P = 0,99$ , а на рис.49 приведено распределение температуры вдоль правой ноги у больного 58 лет, страдающего облитерирующим эндартериитом.

Для уточнения диагноза можно провести измерение распределения температуры вдоль ноги после физической нагрузки, например, 20–25 движений в коленном суставе и еще раз

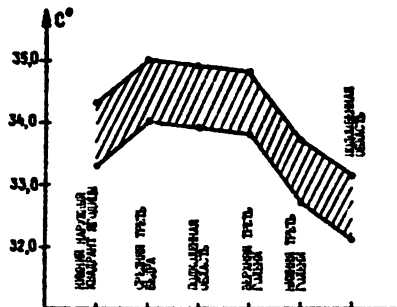


Рис.48

после приема таблетки нитроглицерина.

Этим же методом рекомендуется контролировать состояние пациента в процессе лечения.

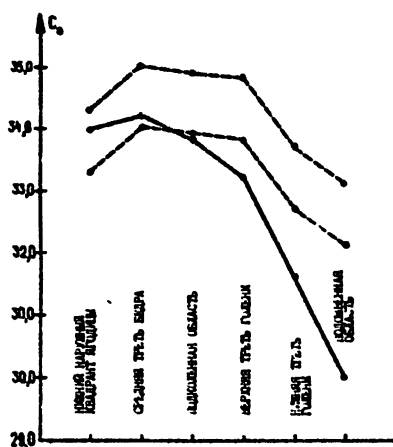


Рис.49

## 14. ОБСЛЕДОВАНИЕ КОНСОЛИДАЦИИ КОСТИ ПРИ ПЕРЕЛОМАХ

Радиотермометрическое обследование консолидации кости при лечении переломов, возможно лишь в том случае, когда применяется аппарат Илизарова. При использовании гипсовых повязок или лангетов этот метод нельзя использовать. Суть заключается в том, что ведется измерение температуры в трех точках: выше перелома, ниже перелома и над переломом. Собычно температура в области перелома до наступления полной консолидации выше чем там, где кость целая. Это легко объясняется активным обменным процессом, определяемым ростом костной мозоли. Постепенно с заживлением перелома температуры в этих трех точках выравниваются. Такое применение радиотермометрии может быть использовано в сочетании с методом удлинения конечности по Илизарову, без рентгеновского контроля.

## 15. РАДИОТЕРМОМЕТРИЯ В ФИЗИОТЕРАПИИ И ИГЛОРЕФЛЕКСОТЕРАПИИ

В предыдущих главах описывалось применение радиотермометрии в диагностических целях, а в этой главе – об использовании ее для наблюдения за результатами физиотерапевтического воздействия. Известно, что некоторые физиотерапевтические процедуры при определенных условиях вызывают охлаждение глубинных тканей /34/, а некоторые – нагрев /7/. Величина нагрева или охлаждения может являться показателем правильности выбранной дозировки процедуры, да и самой процедуры. То же самое можно сказать и об иглорефлексотерапии. На рис.50 приведен пример результата воздействия на человека лечебной дозой ультразвука. Некоторые органы получили значительное охлаждение, другие нагрелись и лишь через какое-то время температура возвратилась к первоначальной. На рис.51 показано, что одно и то же терапевтическое воздействие магнитным полем у одних пациентов вызывает нагрев глубинных тканей, у других – охлаждение. Причем изменяется температура не только в той области, которая подверглась облучению, но и в областях, удаленных от зоны воздействия. Применяя радиотермометрию в сочетании с физиотерапией, можно быстро и рационально корректировать ход терапии.

На рис.52 приведен пример изменения температуры правой голени (трофическая язва) в течение 10 каждогонных сеансов иглореф-

Изменение температуры висков и шитовидной железы от ультразвуковой процедуры на правое бедро, лабильно в не прерывном режиме,  $0.05 \text{ вт}/\text{см}^2$ , озвученная поверхность  $40 \text{ см}^2$  в течение 5 минут

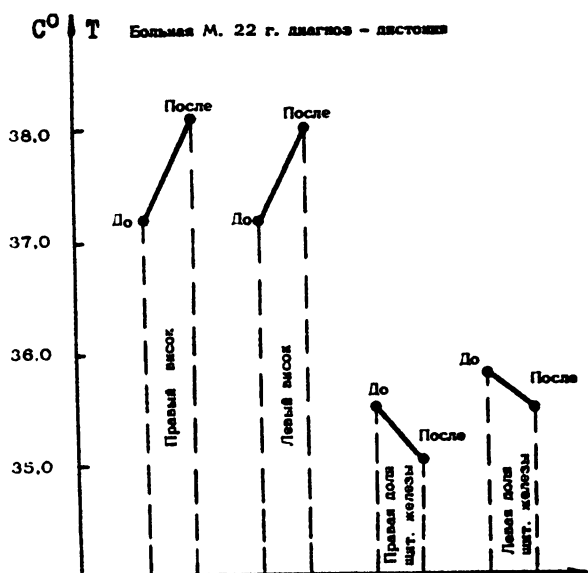


Рис.50

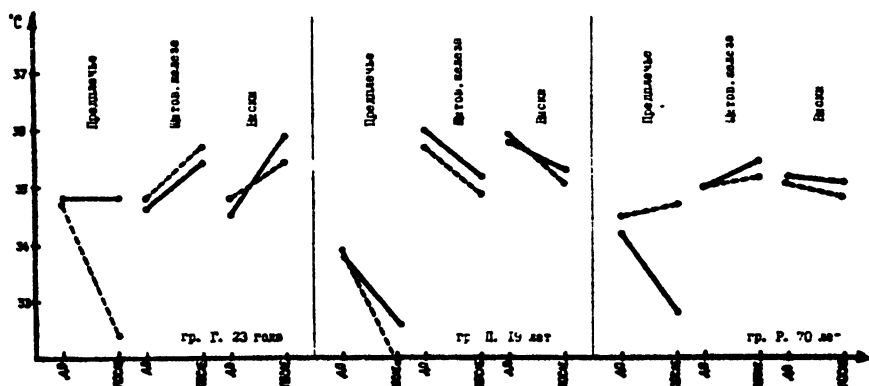
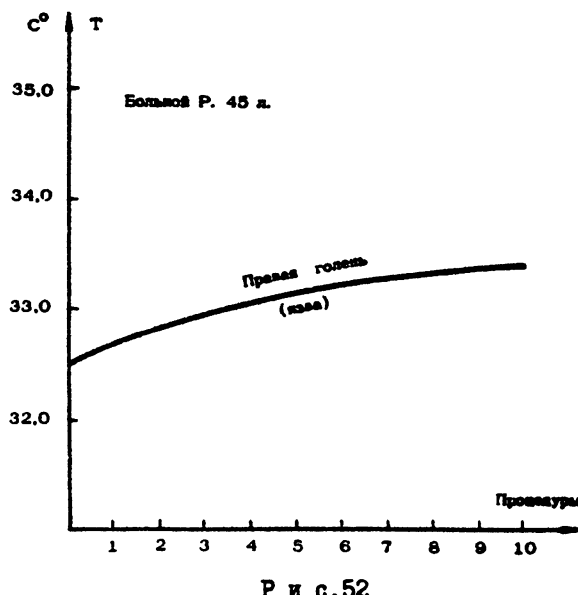


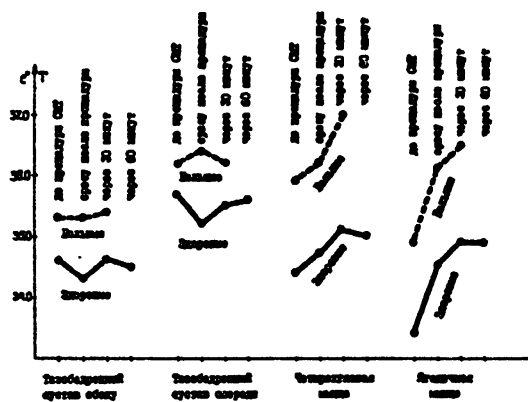
Рис.51

Температурная реакция органов на воздействие синусоидальным магнитным полем 30 мТ на правое предплечье в течение 5 минут через рукав и воздушную 10 мм прослойку.

Условные обозначения: сплошная линия - правая сторона, штриховая - левая



Р и с. 52



Р и с. 53

Ход изменения среднего значения температуры мышц у здоровых детей и больных ДСР во времени в результате воздействия СМТ на четырехглавую мышцу.

При доверительной вероятности 0,95 разброс температуры  $\pm 0,3^{\circ}$

лекстотерапии. В данном случае эффект лечения положительный и радиотермометрия показывает, что лечение выбрано верно.

На рис.53 показан результат воздействия синусоидальных модулированных токов на детей, здоровых и страдающих ДЦП.

## 16. ИССЛЕДОВАТЕЛЬСКАЯ РАБОТА, СТАТИСТИЧЕСКАЯ ОБРАБОТКА РЕЗУЛЬТАТОВ ИЗМЕРЕНИЙ

Радиотермометрия - относительно "молодой" метод в медицине . Его возможности безусловно значительно шире, чем описаны в настоящей работе. Необходимо продолжать исследования применения радиотермометрии в различных областях медицины, набирать статистику и открывать новые применения этого метода.

### Статистическая обработка результатов измерений

Погрешность единичного измерения температуры глубинной ткани человека определяется флуктуационным порогом чувствительности радиометра и потерями в антенном тракте, т.е. техническими параметрами радиотермометра и составляет около  $0,1^{\circ}$ . (Это соответствует погрешности обычного медицинского ртутного термометра.) Однако не только у разных здоровых людей, но даже у одного и того же человека, в разное время суток, температура глубинных тканей или органов может отличаться, практически почти на целый градус. Это объясняется как субъективными данными человека, так и биологическими ритмами. Для исключения влияния биологических ритмов следует проводить все измерения в одно и то же время суток, например с 10 часов утра до 14 часов дня. Тогда разброс значений температуры будет определяться только субъективными особенностями людей. Этот разброс подчиняется нормальному закону распределения, в соответствии с формулой Гаусса:

$$\psi = \frac{1}{6\sqrt{2\pi}} e^{-\frac{(\Delta t)^2}{26^2}}$$

где  $\Delta t$  - отклонение температуры от среднего значения,  $G^2$  - дисперсия,  $e$  - основание натуральных логарифмов,  $\psi$  - относительная частота появления отклонения температуры  $\Delta t$ . А корень квадрат-

ный из дисперсии – это предел среднеквадратичной ошибки  $S_n$  при увеличении числа измерений до бесконечности:

$$S = \lim_{n \rightarrow \infty} S_n.$$

Среднеквадратичной ошибкой называется величина

$$S_n = \sqrt{\frac{\sum (\bar{t} - t_i)^2}{n-1}},$$

здесь  $n$  – число измерений,  $t_1, t_2, \dots, t_n$  – значение температуры каждого измерения,  $\bar{t}$  – среднегарифметическое значение температуры из всех измерений:

$$\bar{t} = \frac{t_1 + t_2 + t_3 + \dots + t_n}{n}.$$

Большие отклонения температуры единичного измерения у одного человека от среднего значения по некоторой группе людей встречаются реже, чем малые. Статистическая обработка результатов измерений [35, 36] позволяет нам выяснить интервал или разброс температур у единичных измерений, в который с заданной или, как говорят, доверительной вероятностью попадает определенное число проведенных исследований.

Доверительный интервал температур можно представить разностью  $(\bar{t} + \Delta t) - (\bar{t} - \Delta t)$ , где  $\Delta t$  – отклонение единичного измерения от среднего значения температур. При очень большом количестве измерений интервал  $(\bar{t} + \sigma) - (\bar{t} - \sigma)$  соответствует доверительной вероятности 0,68. Это означает, что в данный интервал температур попадает 68% всех измерений. Интервалу  $(\bar{t} + 2\sigma) - (\bar{t} - 2\sigma)$  соответствует доверительная вероятность 0,95, а интервалу  $(\bar{t} + 3\sigma) - (\bar{t} - 3\sigma)$  – 0,997.

При обычных измерениях можно ограничиться доверительной вероятностью 0,9 или 0,95, но в тех случаях, когда необходима особая точность, прибегают к доверительной вероятности 0,999 – т.е. 99,9%; в результате всех измерений укладывается в выбранный интервал.

Когда же число измерений, из которых определена среднеквадратичная ошибка  $S_n$ , но очень велико, что имеет место в меди-

цинских исследованиях, для определения отклонения  $\Delta t$  при заданной доверительной вероятности пользуются коэффициентом Стьюдента. Коэффициент Стьюдента – это доверительный интервал, выраженный в долях среднеквадратичной ошибки для определенного конечного числа измерений, зависящий от доверительной вероятности. Коэффициенты Стьюдента приводятся в таблицах многих руководств по статистической обработке результатов измерений /35/ и в учебниках. Пользуясь коэффициентом Стьюдента, определяем отклонение единичного измерения от среднеарифметического по формуле

$$\Delta t = \frac{\varepsilon_{st} S_n}{\sqrt{n}} .$$

В свете изложенного, последовательность наших расчетов будет такова.

1. Определяем среднеарифметическое значение измеренной температуры:

$$\bar{t} = \frac{t_1 + t_2 + t_3 + \dots + t_n}{n} .$$

2. Вычисляем среднеквадратичную ошибку:

$$S_n = \sqrt{\frac{\sum (\bar{t} - t_i)^2}{n-1}} .$$

3. Определяем отклонение температуры от среднеарифметического, взяв из приведенной таблицы коэффициент Стьюдента:

$$\Delta t = \frac{\varepsilon_{st} S_n}{\sqrt{n}} .$$

4. Получаем в результате

$$t = \bar{t} \pm \Delta t .$$

В таблице приведены коэффициенты Стьюдента для количества измерений от 2 до 60. Однако рекомендуется в исследованиях иметь минимальное число измерений – 16. Дополнительные сведения по медицинской статистике можно найти в работе /36/.

## КОЭФФИЦИЕНТЫ СТЬЮДЕНТА

Число измерений :	Доверительная вероятность			
	: 0,9	: 0,95	: 0,99	: 0,999
2	6,3	12,7	63,7	636,6
3	2,9	4,3	9,9	31,6
4	2,4	3,2	5,8	12,9
5	2,1	2,8	4,6	8,6
6	2,0	2,6	4,0	6,9
7	1,9	2,4	3,7	6,0
8	1,9	2,4	3,5	5,4
9	1,9	2,3	3,4	5,0
10	1,8	2,3	3,3	4,8
11	1,8	2,2	3,2	4,6
12	1,8	2,2	3,1	4,5
13	1,8	2,2	3,1	4,3
14	1,8	2,2	3,0	4,2
15	1,8	2,1	3,0	4,1
16	1,8	2,1	2,9	4,0
17	1,7	2,1	2,9	4,0
18	1,7	2,1	2,9	4,0
19	1,7	2,1	2,9	3,9
20	1,7	2,1	2,9	3,9
21	1,7	2,1	2,8	3,8
22	1,7	2,1	2,8	3,8
23	1,7	2,1	2,8	3,8
24	1,7	2,1	2,8	3,8
25	1,7	2,1	2,8	3,7
26	1,7	2,1	2,8	3,7
27	1,7	2,1	2,8	3,7
28	1,7	2,0	2,8	3,7
29	1,7	2,0	2,8	3,7
30	1,7	2,0	2,8	3,7
35	1,7	2,0	2,8	3,7
40	1,7	2,0	2,7	3,6
50	1,7	2,0	2,7	3,6
60	1,7	2,0	2,7	3,5

## Л И Т Е Р А Т У Р А

- I. Enander B., Larson G. Microwave radiometric measurements of the temperature inside a body // Electronics Letters. - 1974 - V.10, N.15. - P.317.
2. Barrett A.H., Myers P.C. Subcutaneous temperatures: a method of noninvasive sensing // Science. - 1975. - V. 190, N.4215. - P. 669.
3. Barrett A.H., Myers P.C., Sadovsky N.L. Detection of breast cancer by microwave radiometry // Radio Science Suppl. - 1977. - V. 12, N.6. - P.167.
4. Прессман А.С. Электромагнитные поля и живая природа. - М. : Наука, 1968.
5. Джонсон К.К., Гай А.В. Воздействие неонизирующего электромагнитного излучения на биологические среды и системы//Труды института инженеров по электротехнике и радиоэлектронике (НИИЭР). - 1972. - Т.60, № 6. - С.49.
6. Рахлин В.Л., Зубов М.М., Плечков В.М. Радиометр пятисантиметрового диапазона и некоторые результаты его применения в СВЧ термографии//Изв.вузов. - Радиофизика. - 1982. - Т. 25 , № 8. - С.958.
7. Рахлин В.Л., Зубов М.М., Куприянова Т.С., Гетманцева И.А. Радиотермометр 60 см диапазона волн и некоторые результаты его применения в медицинской диагностике//Изв.вузов. - Радиофизика. - 1989. - Т.32, № 5. - С.557.
8. Троицкий В.С. и др. О возможности использования собственного теплового радиоизлучения тела человека для измерения температуры его внутренних органов//Препринт № I3I. - Горький : НИРФИ, 1979.
9. Троицкий В.С., Рахлин В.Л., Сизымина Л.К., Аранжереев Е.А. Авторское свидетельство № I345803 от 15.06.87 на "Устройство для измерения температуры диэлектрической среды". За заявка № 3881741, приоритет изобретения от 04.06.85.
10. Николаев А.Г., Перцов С.В. Радиотеплолокация. - М.: Сов.радио, 1964.
- II. Dicke R.M. The measurement of thermal radiation at microwave frequencies // The Review of Scientific Instruments. - 1946. - V.17, N.7. - P.268.

- I2. Троицкий В.С., Рахлин В.Л. Абсолютный микроваттметр на волну 3,2 см//Ученые записки ГГУ им.Лобачевского и ГИФТИ. Т.30 . I956.
- I3. Osterrieder S., Schaller C. Ein Mikrowellenradiometer für medizinische Anwendungen // Frequenz. - 1983. - Bd. 37, N. 1 . - S. 7.
- I4. Zudeke K.M., Schik B., Kohler J. Radiation balance microwave thermograph for industrial and medical applications//Electron Letters. - 1978. - V.14, N.6. - P.194.
- I5. Есепкина Н.А., Корольков Д.В., Парицкий Ю.Н. Радиотелескопы и радиометры. - М.: Наука, I973.
- I6. Рахлин В.Л., Родина В.М., Закатов В.А. Описание радиометра для калибровки антенн. - Отчет НИРФИ, I963.
- I7. Белов И.Ф., Дивакова Е.К., Добринина Т.Н. Вибраторные антенны для контактных измерений внутренней температуры тел//Сб.трудов Всесоюзной конференции "Методические вопросы определения температуры биологических объектов радиофизическими методами". - М.: АН СССР, I985. - С.I64.
- I8. Белов И.Ф., Дивакова Е.К. Вибраторная антенна//Авторское свидетельство № I288768, приоритет II.06.85. Бюллетень изобретений № 5, 07.02.87.
- I9. Рахлин В.Л. Метод регулируемого подщумливания для устранения ошибок радиометра, вызванных рассогласованием антенны с теплом//Изв.вузов. - Радиофизика.- I984. - T.27, № 9. - С.I204.
- I20. Flater R.H. Synchronous integrator and demodulator//The Review of Scientific Instruments. - 1965. - V.36, N.5. - P.634.
- I21. Троицкий В.С., Рахлин В.Л., Зубов М.М./Авторское свидетельство № I485082 от 08.02.89 на "Эталон теплового радиоизлучения для калибровки медицинских радиотермометров". Заявка № 43I8336, приоритет изобретения 28.09.87.
- I22. Ротков И.Л. Диагностические и тактические ошибки при остром аппендиците. - М.: Медицина, I988.
- I23. Подоненко-Богданова А.П. Заболевания, стимулирующие "острый живот". - Киев: Здоровья, I968.
- I24. Пономарев А.А. Ошибочные аппендэктомии при перфоративных гастроуденальных язвах//Хирургия. - I972, № IO. - С.86.
- I25. Рахлин В.Л., Агова Г.Е. Радиотермометрия в диагностике патологии молочных желез, гениталий, предстательной железы и поз-

- вончника//Препринт № 253. - Горький: НИРФИ, 1988.
26. Дымарский Л.Д. Рак молочной железы. - М.: Медицина, 1980.
27. Бодякина В.И., Васильевская Л.Н., Побединский Н.М., Стругацкий В.М. Диагностика и лечение гинекологических заболеваний в женской консультации. - М.: Медицина, 1980.
28. Михайленко Е.Т., Бублик-Дорняк Г.М. Гинекология. - Киев: Выща школа, 1979.
29. Дубоцкий Д.Н. Основы топографической анатомии. - М., Медгиз, 1953.
30. Рахлин В.Л., Алов Г.Е. Способ диагностики заболеваний позвоночника. - Заявка № 4737313/14. Решение о выдаче авторского свидетельства СССР от 28.02.91.
31. Рахлин В.Л., Алов Г.Е. Способ диагностики заболеваний предстательной железы. - Заявка № 4737312/14. Решение о выдаче авторского свидетельства СССР от 28.02.91.
32. Макаров Н.А., Рахлин В.Л. Радиотермометрия и ее применение в диагностике облитерирующего атеросклероза аорты и артерий нижних конечностей//Препринт № 226. - Горький: НИРФИ, 1987.
33. Рахлин В.Л., Волосшин В.Н. Значение глубинного температурного профиля нижних конечностей в оценке артериального кровоснабжения у больных с синдромом Лериша// В межвузовском сборнике "Актуальные вопросы хирургии сосудов". - Горький: Минздрав СССР, ГМИ им. С.М. Кирова, 1990.
34. Троицкий В.С., Рахлин В.Л., Развозова Е.П. Исследование глубинного теплового поля человека при воздействии ультразвука и //Изв. вузов. - Радиофизика. - 1988. - Т.31, № 12. - С.1437.
35. Зайцев А.Н. Элементарные оценки ошибок измерений. - Л.: Наука, 1967.
36. Поляков И.В., Соколова Н.С. Пособие по медицинской статистике. - М.: Медицина, 1980.

Дата поступления статьи  
15 июля 1993 г.